



石川顕一

東京大学 大学院工学系研究科 光量子科学研究中心

ishiken@atto.t.u-tokyo.ac.jp <http://ishiken.free.fr/>

高強度場現象・アト秒科学（1）

高強度レーザー場中の原子のイオン化

石川顕一

Kenichi L. Ishikawa

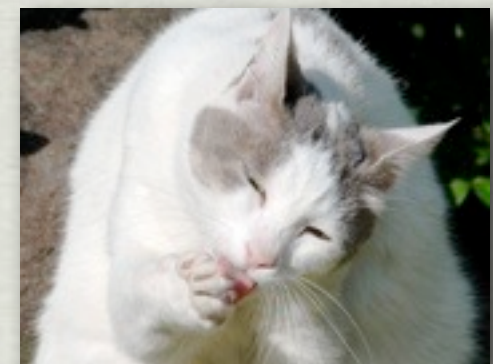


東京大学 大学院工学系研究科 附属光量子科学研究中心
(兼務) 原子力国際専攻・物理工学専攻・理学系研究科物理学専攻

- * 大阪府堺市出身
 - * 学歴
 - * 学士(工学) : 東大・工・原子力工学科
 - * 修士(工学) : 東大・工・システム量子工学専攻
 - * スイス・ローザンヌ連邦工科大学留学
 - * PhD : ドイツ・アーヘン工科大学
 - * 職歴
 - * フランス原子力庁Saclay研究所
 - * 理化学研究所・レーザー物理工学研究室
 - * 東大・工・システム量子工学専攻
 - * 理化学研究所・次世代計算科学
 - * 東大・工・光量子科学研究中心
- * 専門分野(理論)
 - * レーザー物質相互作用
 - * 高強度場現象
 - * アト秒科学
 - * グラフェンの非線形光学応答
 - * 趣味
 - * 旅行・オペラ鑑賞・おいしいものを食べ飲みすること



ネコ好き



強レーザー場とは

強度 $10^{13} \sim 10^{15} \text{ W/cm}^2$

- * 原子との相互作用が非摂動論的になり始める強度。
- * レーザー場が電子におよぼす影響～原子核が電子におよぼす影響

高強度場現象

- * 超閾電離(Above-threshold ionization, ATI)
 - * 必要以上の光子を吸収してイオン化する過程
- * トンネル電離
 - * トンネル効果によるイオン化
- * 高次高調波発生
 - * 波長変換によって高次の倍波が発生する現象

参考文献

- * M. Protopapas, C. H. Keitel, and P. L. Knight, “Atomic physics with super-high intensity lasers” Rep. Prog. Phys. 60, 389-486 (1997).
- * T. Brabec and F. Krausz, “Intense few-cycle laser fields: Frontiers of nonlinear optics” Rev. Mod. Phys. 72, 545-591 (2000).
- * P. Agostini and L. F. DiMauro, “The physics of attosecond light pulses” Rep. Prog. Phys. 67, 813–855 (2004).
- * F. Krausz and M. Ivanov, “Attosecond physics” Rev. Mod. Phys. 81, 163-234 (2009)
- * Zenghu Chan, “Fundamentals of Attosecond Optics” (CRC, 2011)
- * K. L. Ishikawa, “High-harmonic generation” in Advances in Solid-State Lasers, ed. by M. Grishin (INTECH, 2010) 439-464

キーとなる概念

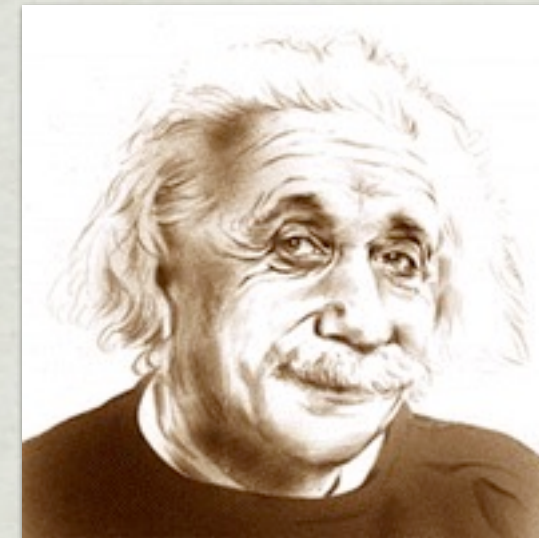
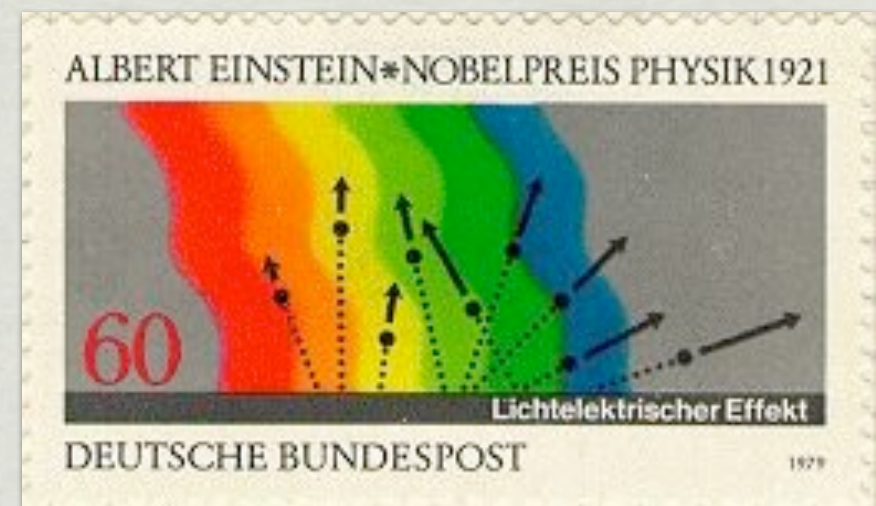
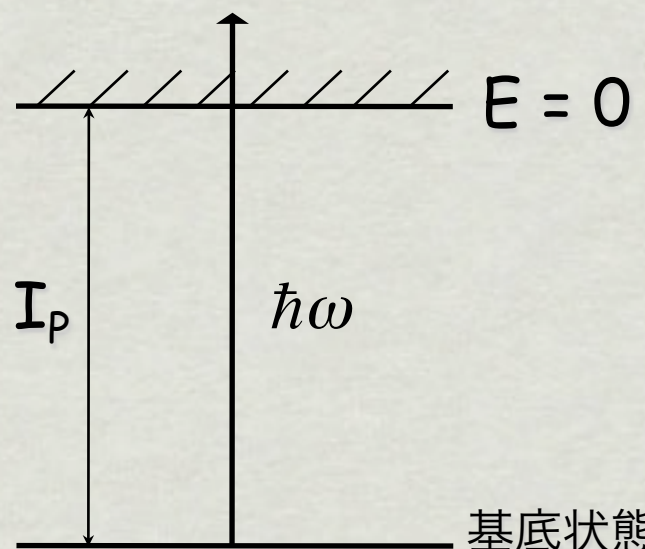
- * ポンデロモーティブエネルギー
- * ケルディッシュパラメーター
- * 電子波束の干渉、量子経路の干渉
- * 時間領域で考える

高強度場現象の魅力

- * 同じ現象を、様々な観点からとらえることができる。
- * 原子物理とプラズマ物理の出会うところ

1 光子電離（光電効果）

1905年 アインシュタイン



放出された電子の運動エネルギー

$$E_{el} = \hbar\omega - I_p$$

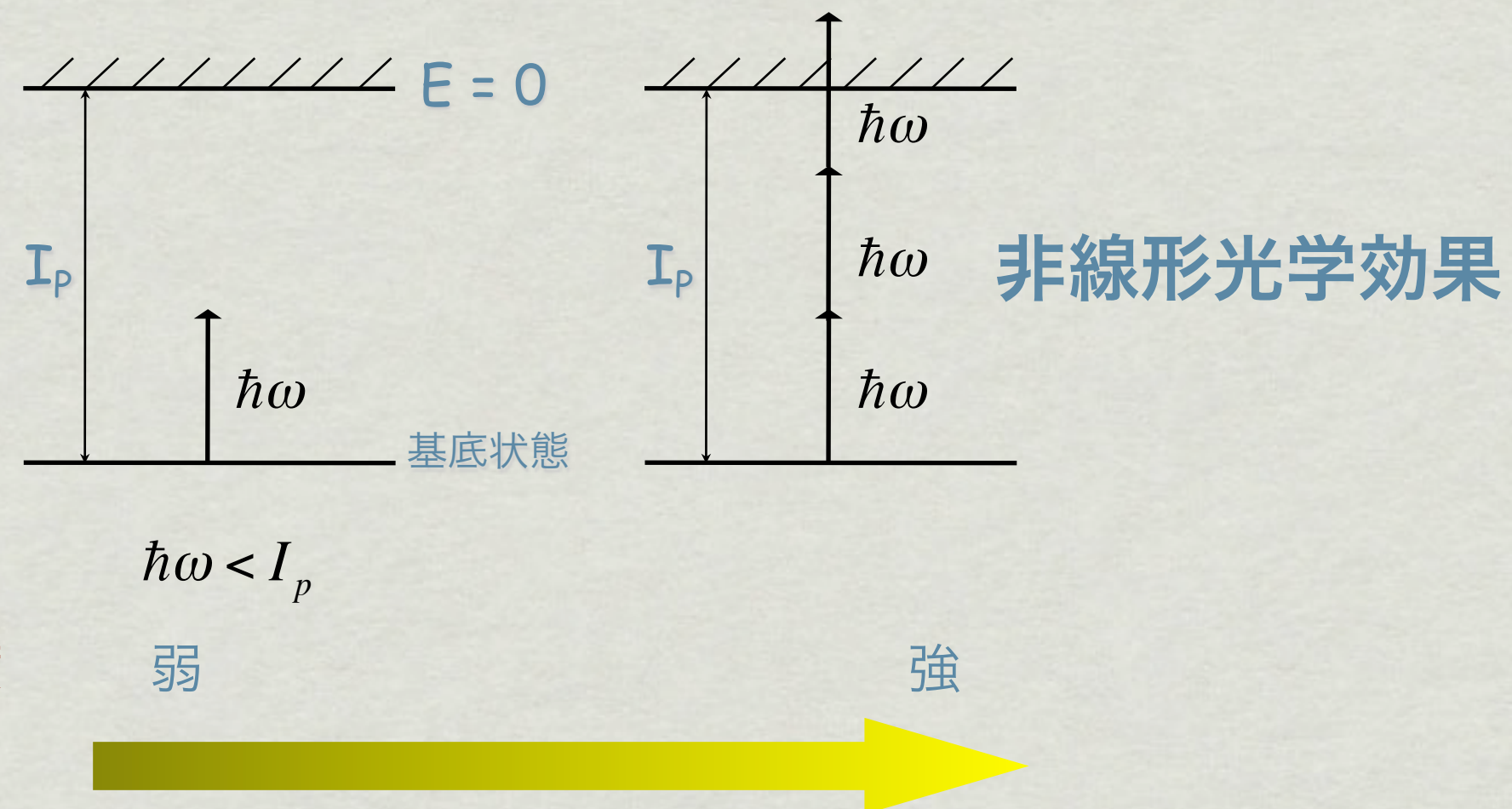
イオン化の条件 $\hbar\omega > I_p$

イオン化レート $R \propto I$

I : 光の強度

多光子電離

1970年代末まで信じられていたこと



イオン化に必要な光子数

$$N = \left[\frac{I_p}{\hbar\omega} \right] + 1$$

放出された電子の運動エネルギー

$$E_{\text{kin}} = N\hbar\omega - I_p$$

イオン化率の検証

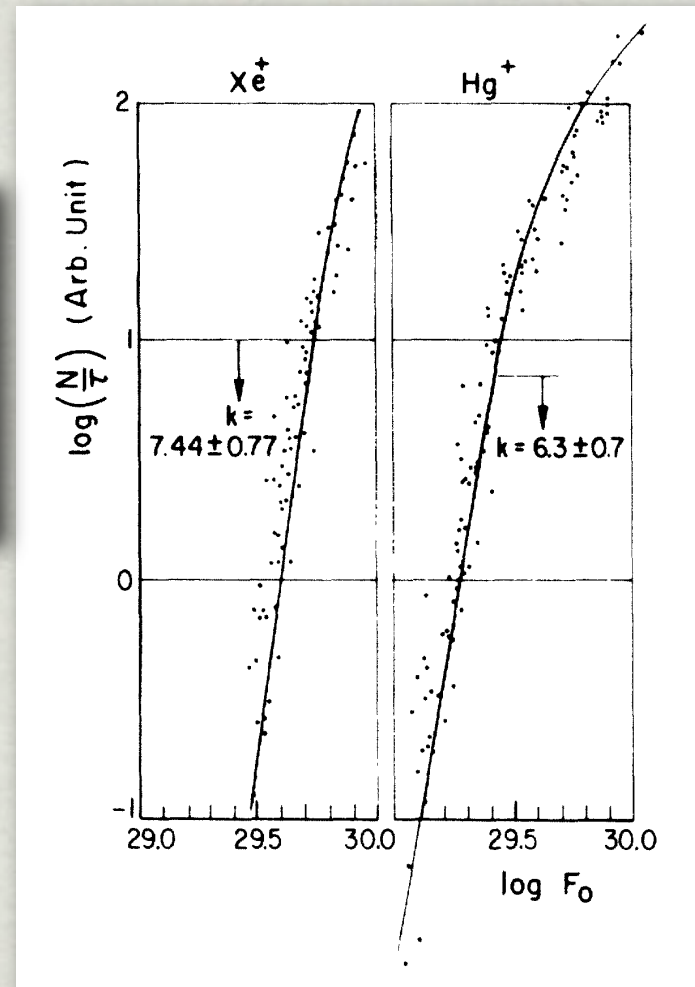
1965~1975年

イオン化率

$$I < 10^{13} \text{ W/cm}^2$$

$$R_N = \sigma_N \Phi^N \quad \Phi = I/\hbar\omega$$

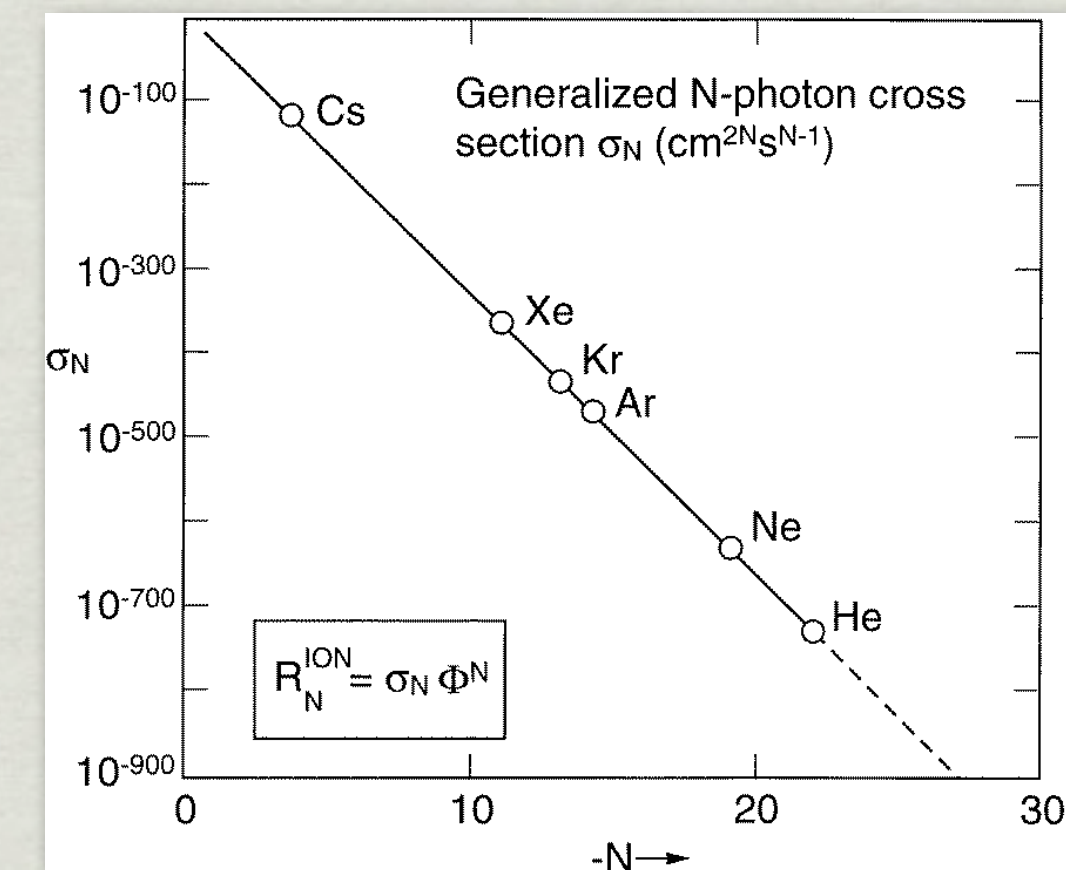
- * 強度の N 乗の依存性は様々な原子について確認された。



Log-log plot of the ion-production rate vs. laser peak flux. [Chin et al, Phys. Rev. 188, 7 (1969)]

UT-PSC

Photon Science Center of the University of Tokyo

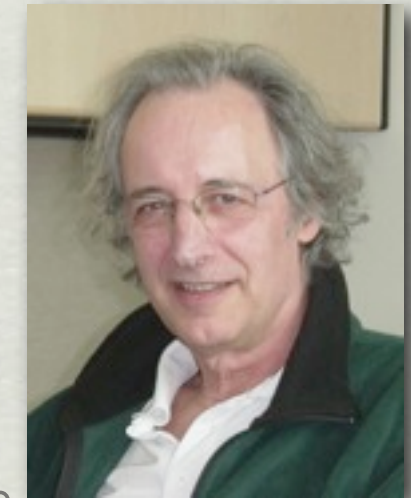


Protopapas et al., Rep. Prog. Phys. 60, 389 (1997)

超閾電離の発見

Pierre Agostiniら (フランス原子力庁サクレー研究所)

Phys. Rev. Lett. 42, 1127 (1979)

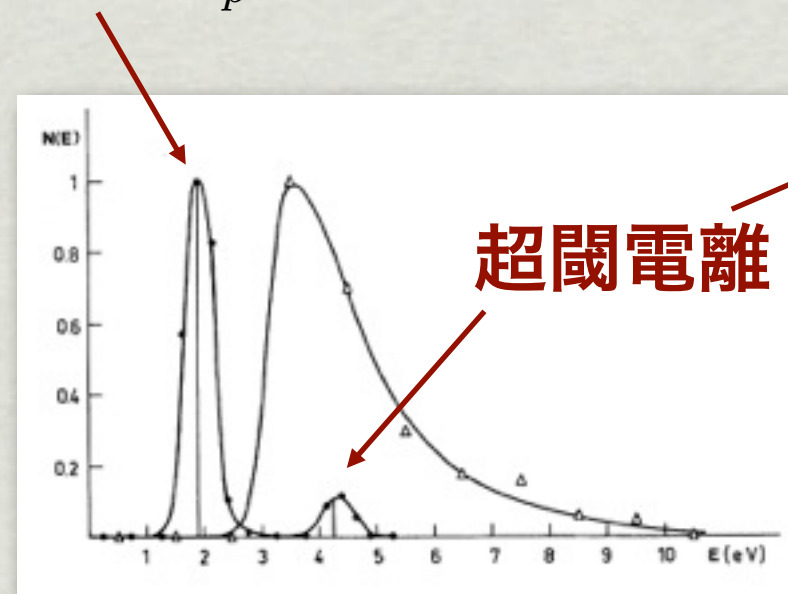


- * それまでの実験はいずれも、トータルのイオン化収量を測定していた。
- * Agostiniらは、初めて光電子のエネルギースペクトルを測定した。

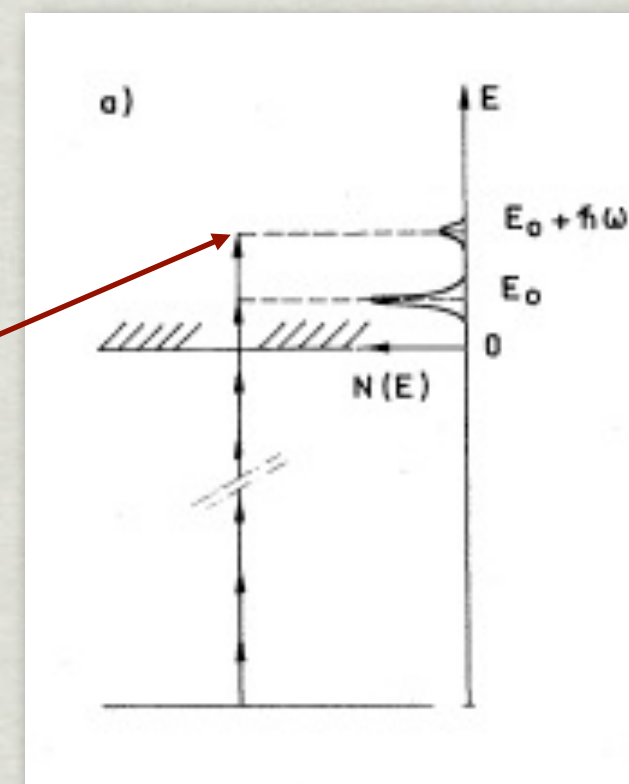
波長532nm $\hbar\omega = 2.33 \text{ eV}$ $I_p(\text{Xe}) = 12.1298 \text{ eV}$ $N = 6$

6光子電離で予想されるより高エネルギーの位置にもピークを発見

$$E_{\text{kin}} = N\hbar\omega - I_p = 1.86 \text{ eV}$$



Free-Free Transitions Following Six-Photon Ionization of Xenon Atoms



6光子電離の後で
もう1光子吸収？

自由電子は光子を吸えない

エネルギー保存

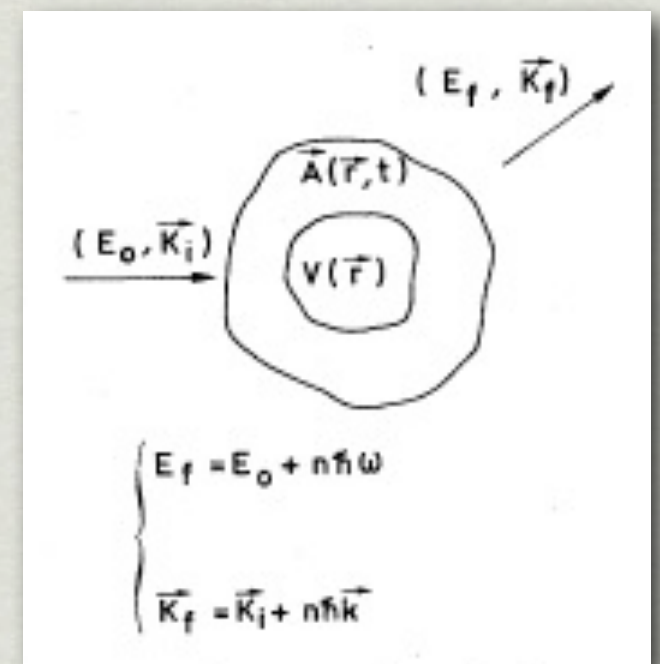
$$\frac{p_i^2}{2} + n\hbar\omega = \frac{p_f^2}{2}$$

運動量保存

$$\mathbf{p}_i + n\hbar\mathbf{k} = \mathbf{p}_f$$

$$\omega = c|\mathbf{k}|$$

- * 解があるのは、 $n=0$ の場合だけ → 運動量保存が満たされないため、自由電子は光子を吸収も放出もできない。
- * 運動量の差を吸収してくれるイオンの近傍でのみ、free-free遷移が可能
- * イオンから逃げていく電子が、光子を吸う暇があるのか？



より高強度の実験

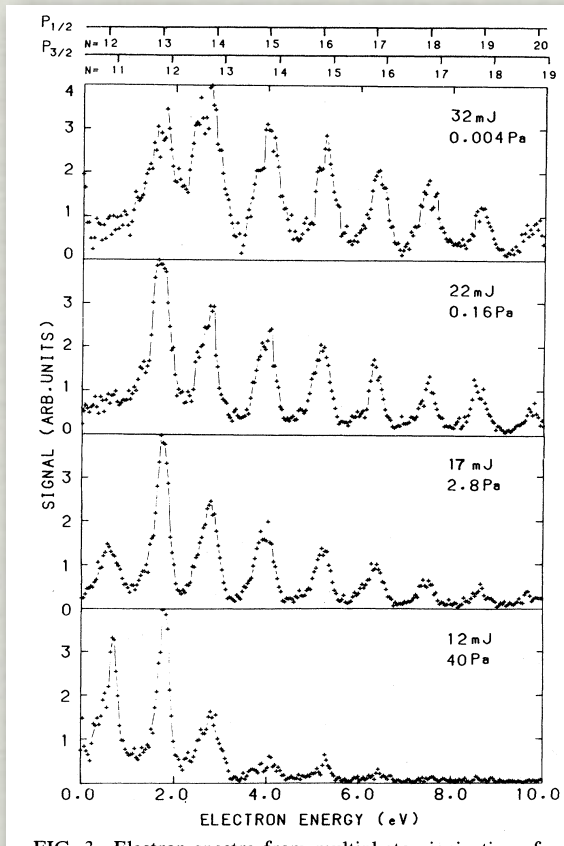


FIG. 3. Electron spectra from multiphoton ionization of xenon at 1064-nm. The vertical scales are normalized. The pulse energy F and pressure at which each spectrum is taken is given in the figure. In the spectrum at 0.004 Pa, the background has been subtracted. The estimated intensity is $F(\text{mJ}) \times 2.10^{12} \text{ W/cm}^2$.

Kruit et al., Phys. Rev. A 28, 248 (1983)
FOM (アムステルダム)のグループ

$$E_{\text{kin}} = (N + S)\hbar\omega - I_p$$

最小限必要な光子数 余分の光子数

* ATIは、free-free遷移による光子吸収であることが確実に

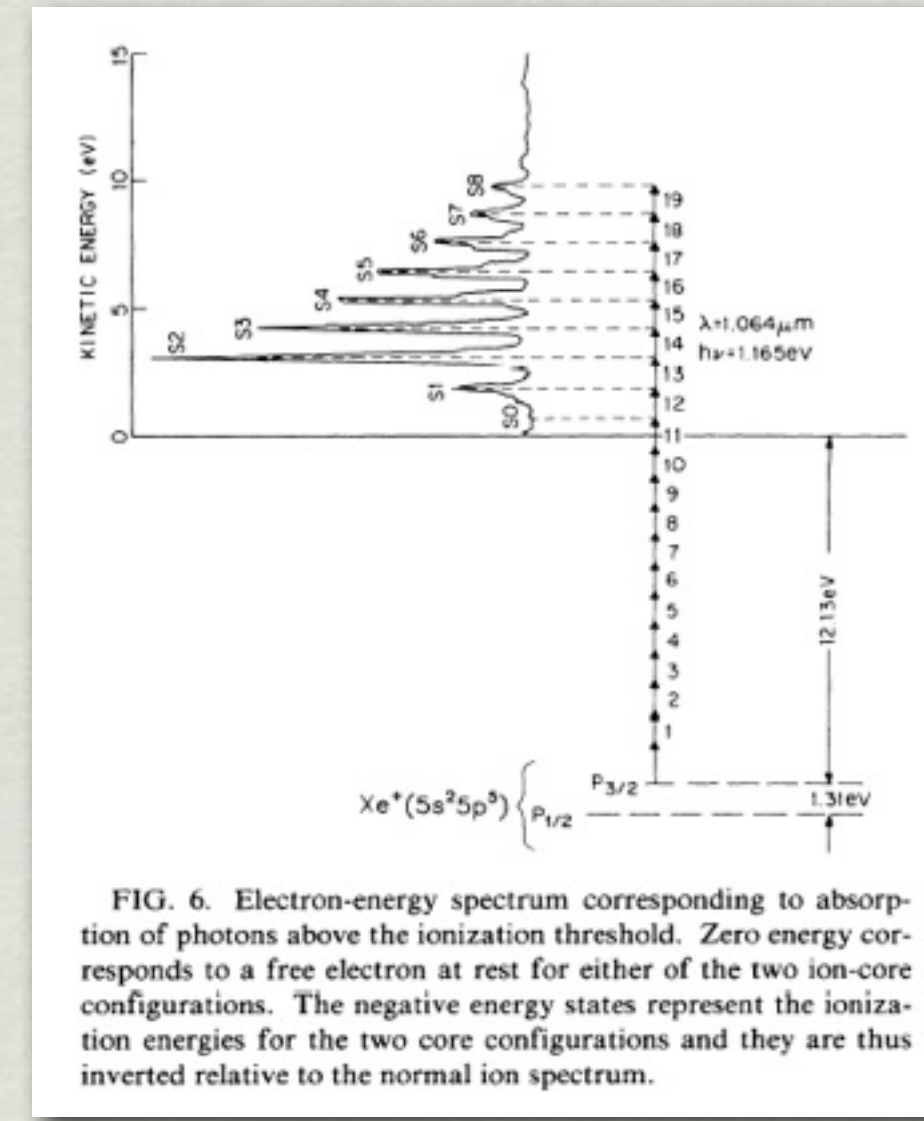
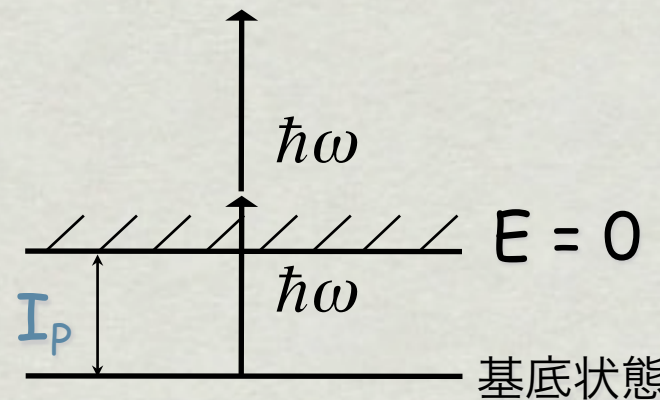


FIG. 6. Electron-energy spectrum corresponding to absorption of photons above the ionization threshold. Zero energy corresponds to a free electron at rest for either of the two ion-core configurations. The negative energy states represent the ionization energies for the two core configurations and they are thus inverted relative to the normal ion spectrum.

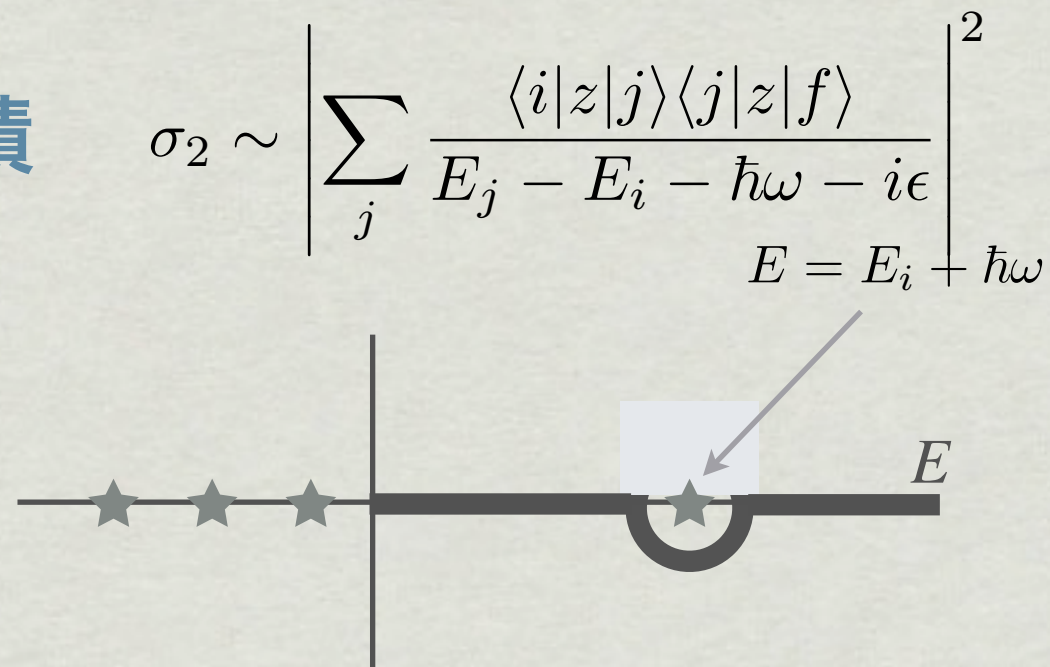
MacIlrath et al., Phys. Rev. A 35, 4611 (1987)
AT&Tベル研のグループ

注意！（厳密には）まずイオン化してから、さらに光子を吸収する...という過程だけではない！

2光子ATIの場合



断面積



$$\frac{1}{x - i\epsilon} = P \frac{1}{x} + i\pi\delta(x)$$

$$\sigma_2 \sim \left| P \int \frac{\langle i | z | E \rangle \langle E | z | f \rangle}{E_j - E_i - hbar\omega} dE + i\pi \langle i | z | E_i + hbar\omega \rangle \langle E_i + hbar\omega | z | f \rangle \right|^2$$

直接2光子を吸収

1光子電離してから、もう1光子吸収（共鳴2光子過程）

ATIの強度依存性

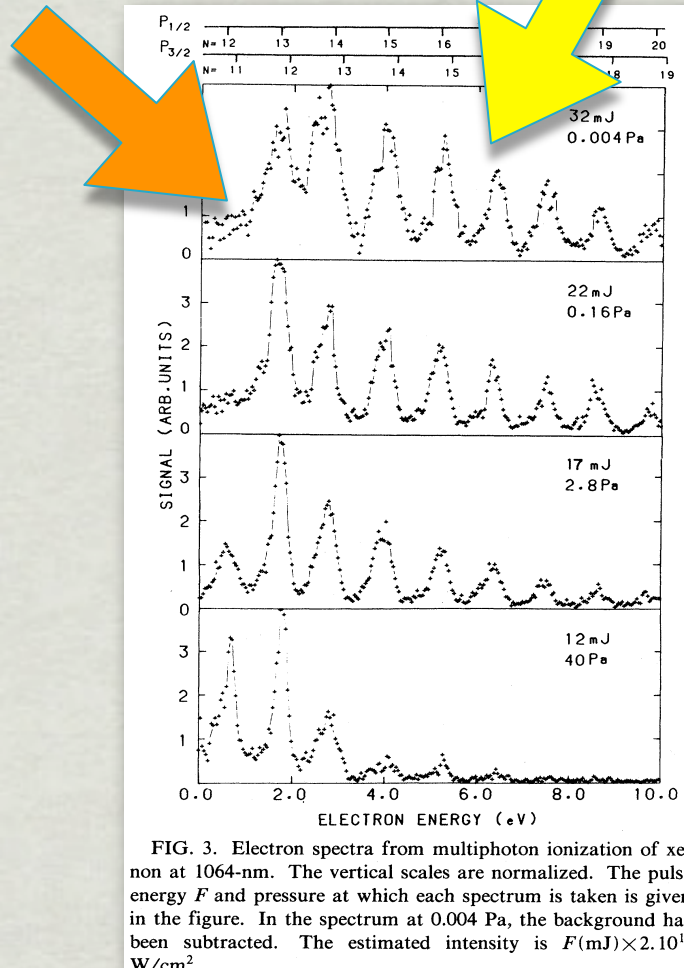


FIG. 3. Electron spectra from multiphoton ionization of xenon at 1064-nm. The vertical scales are normalized. The pulse energy F and pressure at which each spectrum is taken is given in the figure. In the spectrum at 0.004 Pa , the background has been subtracted. The estimated intensity is $F(\text{mJ}) \times 2.10^{12} \text{ W/cm}^2$.

Kruit et al., Phys. Rev. A 28, 248 (1983)
FOM (アムステルダム)のグループ

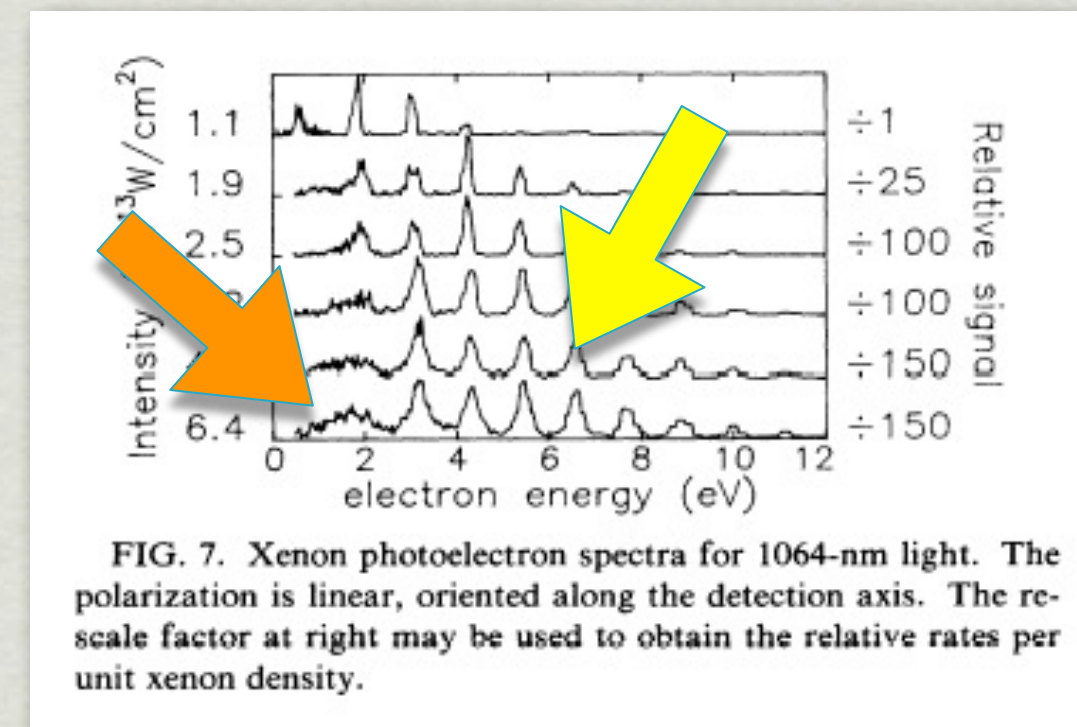


FIG. 7. Xenon photoelectron spectra for 1064-nm light. The polarization is linear, oriented along the detection axis. The re-scale factor at right may be used to obtain the relative rates per unit xenon density.

MacIlrath et al., Phys. Rev. A 35, 4611 (1987)
AT&Tベル研のグループ

高強度では

- * 吸収光子数によらず、ピークの高さが同程度 → 非摂動論的
- * 低次の吸収ピークが消える (peak suppression) → 非摂動論的

高次の摂動論

$$i\hbar \frac{\partial \psi}{\partial t} = (H_0 + H_I)\psi$$

$$H_I = \left(e \sum_{j=1}^n \mathbf{r}_j \right) \cdot \mathbf{E}(t)$$

LENGTH FORM

または

$$H_I = \frac{e}{m} \left(\sum_{j=1}^n \mathbf{p}_j \right) \cdot \mathbf{A}(t) + \frac{ne^2}{2m} \mathbf{A}^2(t)$$

VELOCITY FORM

$(e > 0)$

$$\psi_L = \exp \left[i \frac{e}{\hbar} \sum_j \mathbf{A}(t) \cdot \mathbf{r}_j \right] \psi_V$$

断面積

$$\sigma_N = \frac{2\pi}{\hbar} \left(\frac{2e^2 \hbar \omega}{\epsilon_0 c} \right)^N \sum_f \left| M_{i \rightarrow f}^{(N)} \right|^2 \quad \text{単位} \quad \text{cm}^{2N} \text{s}^{N-1}$$

$$M_{i \rightarrow f}^{(N)} = \sum_{j', j'', \dots, j'''} \frac{\langle i | x | j' \rangle \langle j' | x | j'' \rangle \cdots \langle j''' | x | f \rangle}{(E_i + \hbar \omega - E_{j'}) (E_i + 2\hbar \omega - E_{j''}) \cdots (E_i + (N-1)\hbar \omega - E_{j'''})}$$

高次の摂動論

水素原子の($N+S$)光子電離の断面積 ($\text{cm}^2(N+S)/W^{N+S}/\text{s}$)

Gontier and Trahin, J. Phys. B 13, 4383 (1980)

余分の光子数 S	最小限必要な光子数 N			
	6 (530 nm)	8 (650 nm)	10 (910 nm)	12 (1082 nm)
0	1.39×10^{-69}	1.49×10^{-97}	4.51×10^{-123}	3.46×10^{-149}
1	2.84×10^{-83}	9.85×10^{-111}	7.78×10^{-136}	9.81×10^{-162}
2	2.92×10^{-97}	2.53×10^{-124}	5.35×10^{-149}	1.10×10^{-174}
3	2.80×10^{-111}	5.84×10^{-138}	2.61×10^{-162}	1.08×10^{-187}
4	2.66×10^{-125}	1.35×10^{-151}	1.89×10^{-175}	9.87×10^{-201}
5	2.32×10^{-139}	2.75×10^{-165}	1.04×10^{-188}	8.91×10^{-214}

$S=0$ と1が同じになる強度 (W/cm^2)

$\rightarrow 4.89 \times 10^{13}$

1.51×10^{13}

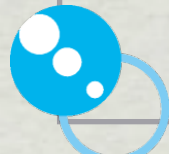
5.80×10^{12}

3.53×10^{12}

非摂動論的になる強度の目安

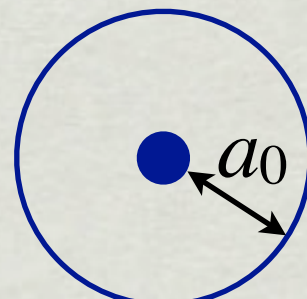
長波長ほど低強度

実験と整合

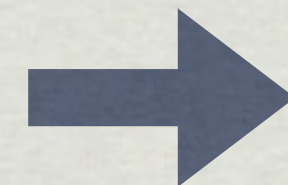


非摂動論的？

原子核からのクーロン力 = レーザー電界からの力 ?



$$\frac{e^2}{4\pi\epsilon_0 a_0^2}$$



$$eE$$

$$I = 3.51 \times 10^{16} \text{ W/cm}^2$$

- * なぜ、これよりずっと低い強度で非摂動論的になるのか？
- * なぜ、長波長ほど、低強度で非摂動論的になるのか？
- * なぜ、低次の光電子ピークが消えるのか？

別の観点から

見てみよう

プラスマ

電磁波中の荷電粒子

$$\mathbf{E}(\mathbf{r}, t) = \frac{1}{2} [\mathbf{E}_0(\mathbf{r}, t) e^{-i\omega t} + \text{c.c.}] = |\mathbf{E}_0| \cos(\omega t + \varphi)$$

$$\mathbf{B}(\mathbf{r}, t) = \frac{1}{2} [\mathbf{B}_0(\mathbf{r}, t) e^{-i\omega t} + \text{c.c.}] = |\mathbf{B}_0| \cos(\omega t + \varphi)$$

$\mathbf{r}(t) = \mathbf{R}(t) + \delta\mathbf{r}(t)$ 振動数 ω にくらべてゆっくり変化 (エンベロープ)

ミクロな振動運動 (振動数 ω) $\delta\mathbf{r}(t) = \delta\mathbf{r}_0 e^{-i\omega t} + \text{c.c.}$

マクロなドリフト運動

$\delta\mathbf{r}_0$ のスケールでは、 $\mathbf{E}_0, \mathbf{B}_0$ はほとんど変わらない。

$$|\delta\mathbf{r}_0 \cdot \nabla \mathbf{E}_0| \ll |\mathbf{E}_0|$$

$$|\delta\mathbf{r}_0 \cdot \nabla \mathbf{B}_0| \ll |\mathbf{B}_0|$$

$$\mathbf{v}(t) = \mathbf{V}(t) + \delta\mathbf{v}(t) \quad \text{電子の速度は非相対論的} \quad \mathbf{V} \times \mathbf{B}_0 \ll \mathbf{E}_0$$

$$\delta\mathbf{v}(t) = \delta\mathbf{v}_0 e^{-i\omega t} + \text{c.c.}$$

振動運動の振幅

質量 m , 電荷 q

$$m\dot{\delta\mathbf{v}} = q\mathbf{E}(\mathbf{r}, t)$$

$$\dot{\delta\mathbf{v}} = \dot{\delta\mathbf{r}}$$

$$\nabla \times \mathbf{E}(\mathbf{r}, t) = -\frac{\partial \mathbf{B}(\mathbf{r}, t)}{\partial t}$$

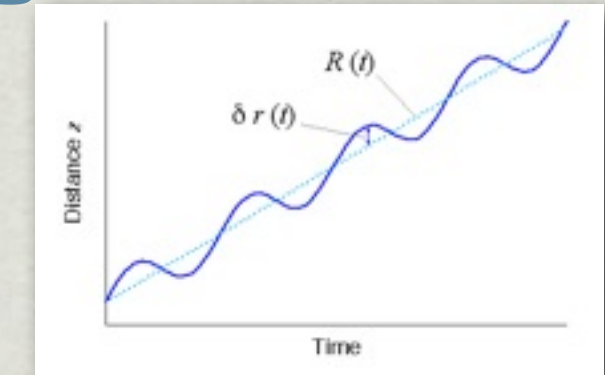


$$\delta\mathbf{v}_0 = \frac{iq\mathbf{E}_0}{2m\omega}$$

$$\delta\mathbf{r}_0 = -\frac{q\mathbf{E}_0}{2m\omega^2}$$



$$\mathbf{B}_0 = \frac{\nabla \times \mathbf{E}_0}{i\omega}$$



荷電粒子に作用する力

$$\begin{aligned}
 \mathbf{F} &= q[\mathbf{E}(\mathbf{r}(t), t) + \mathbf{v}(t) \times \mathbf{B}(\mathbf{r}(t), t)] \\
 &= q[\mathbf{E}(\mathbf{R} + \delta\mathbf{r}, t) + (\mathbf{V} + \delta\mathbf{v}) \times \mathbf{B}(\mathbf{R} + \delta\mathbf{r}, t)] \\
 &\approx q[\mathbf{E}(\mathbf{R}, t) + \delta\mathbf{r} \cdot \nabla \mathbf{E}(\mathbf{R}, t) + \mathbf{V} \times \mathbf{B}(\mathbf{R}, t) + \delta\mathbf{v} \times \mathbf{B}(\mathbf{R}, t)]
 \end{aligned}$$

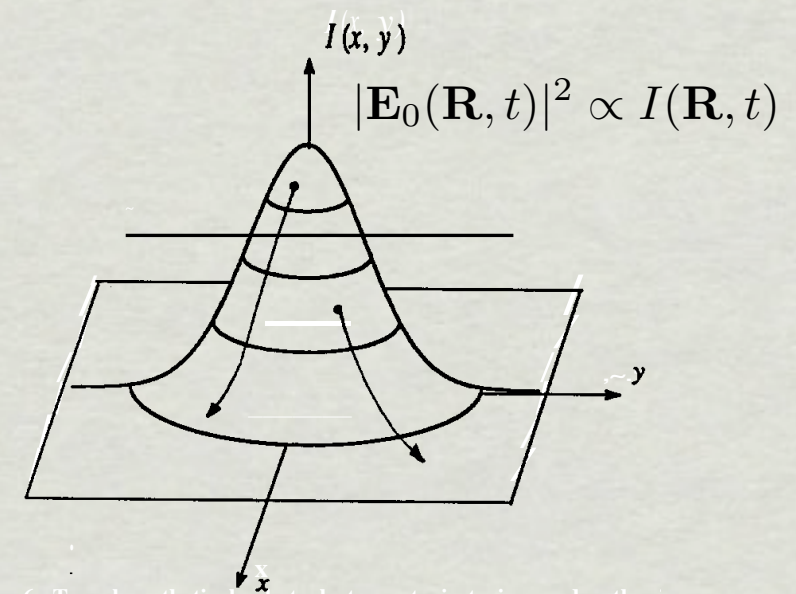
\mathbf{E} , \mathbf{B} , $\delta\mathbf{r}$, $\delta\mathbf{v}$ に前スライドの式を代入し、高速に振動し時間平均でゼロになる $e^{i\omega t}$, $e^{i2\omega t}$, $e^{-i\omega t}$, $e^{-i2\omega t}$ を含む項を無視すると

$$\begin{aligned}
 \mathbf{F} &\approx \frac{q}{2} (\delta\mathbf{r}_0^* \cdot \nabla \mathbf{E}_0 + \delta\mathbf{v}_0^* \times \mathbf{B}_0 + \text{c.c.}) \\
 &= -\frac{q^2}{4m\omega^2} [\mathbf{E}_0 \cdot \nabla \mathbf{E}_0^* + \mathbf{E}_0 \times (\nabla \times \mathbf{E}_0^*) + \text{c.c.}] = -\frac{q^2}{4m\omega^2} \nabla |\mathbf{E}_0|^2
 \end{aligned}$$

$$\mathbf{F} = -\nabla U_p(\mathbf{R}, t) \quad U_p(\mathbf{R}, t) = \frac{q^2 |\mathbf{E}_0(\mathbf{R}, t)|^2}{4m\omega^2} \quad \text{ポンデロモーティブポテンシャル (エネルギー)}$$

ポンデロモーティブ力 (動重力)

- * ポテンシャル力
- * 電磁波の強度に比例
- * 電荷の正負によらず向きが同じ (ビームの中心から外へ)
- * 軽い粒子ほど大きなエネルギー
- * 荷電粒子は、レーザー場中にただいるだけで U_p のエネルギーを持っている。



ミクロな視点からみた

ポンデロモーティブエネルギー

振動電界中の質量 m , 電荷 q の荷電粒子の運動

$$E(t) = E_0 \sin \omega t$$

$$m\dot{v} = qE_0 \sin \omega t$$

$$v = -\frac{qE_0}{m\omega} \cos \omega t + \text{並進運動}$$

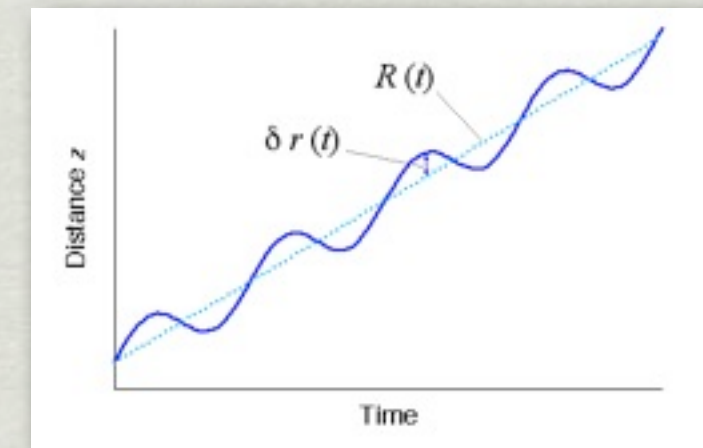
振動運動(quiver motion, jitter motion)のエネルギー

$$\frac{1}{2}mv^2 = \frac{q^2E_0^2}{2m\omega^2} \cos^2 \omega t \quad \text{時間平均} \quad \left\langle \frac{1}{2}mv^2 \right\rangle = \frac{q^2E_0^2}{4m\omega^2} = U_p$$

電子の場合

$$U_p(\text{eV}) = \frac{e^2E_0^2}{4m\omega^2} = 9.337 \times 10^{-14} I(\text{W/cm}^2)\lambda^2(\mu\text{m})$$

- * 電子（荷電粒子）は、レーザー場中にただいるだけで U_p のエネルギーを持っている。



低次のピークがなくなるのはポンデロモーティブシフトの効果

実効的なイオン化ポテンシャルが $I_p + U_p$ になる。

$$U_p(\text{eV}) = \frac{e^2 E_0^2}{4m\omega^2} = 9.337 \times 10^{-14} I(\text{W/cm}^2) \lambda^2(\mu\text{m})$$

長波長の方が起こりやすいことも説明できる。

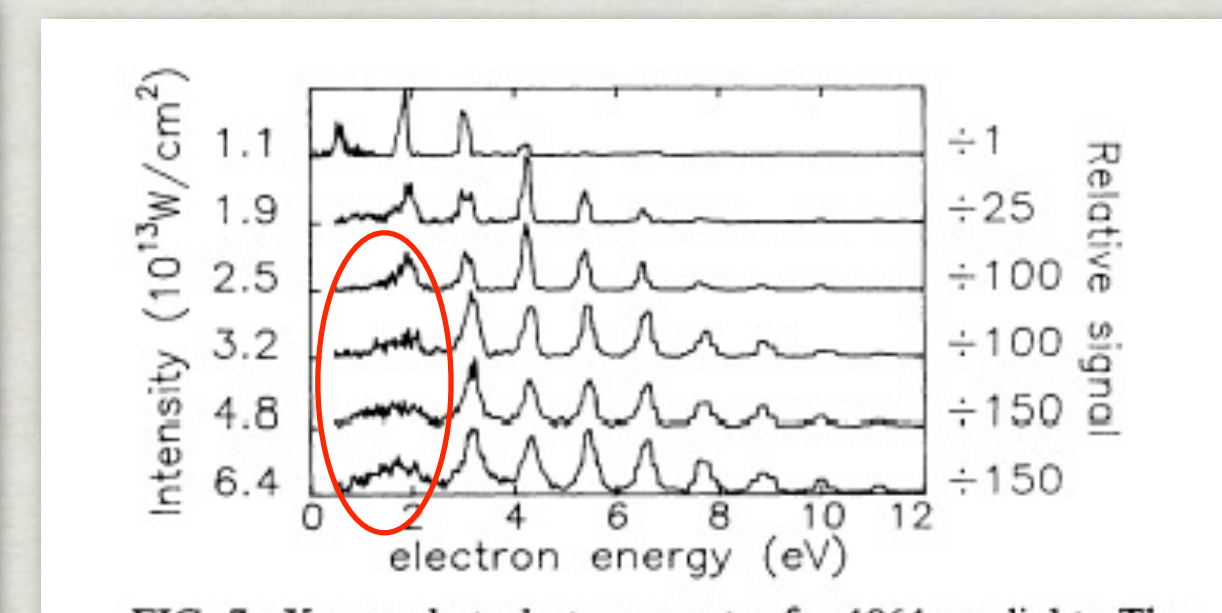
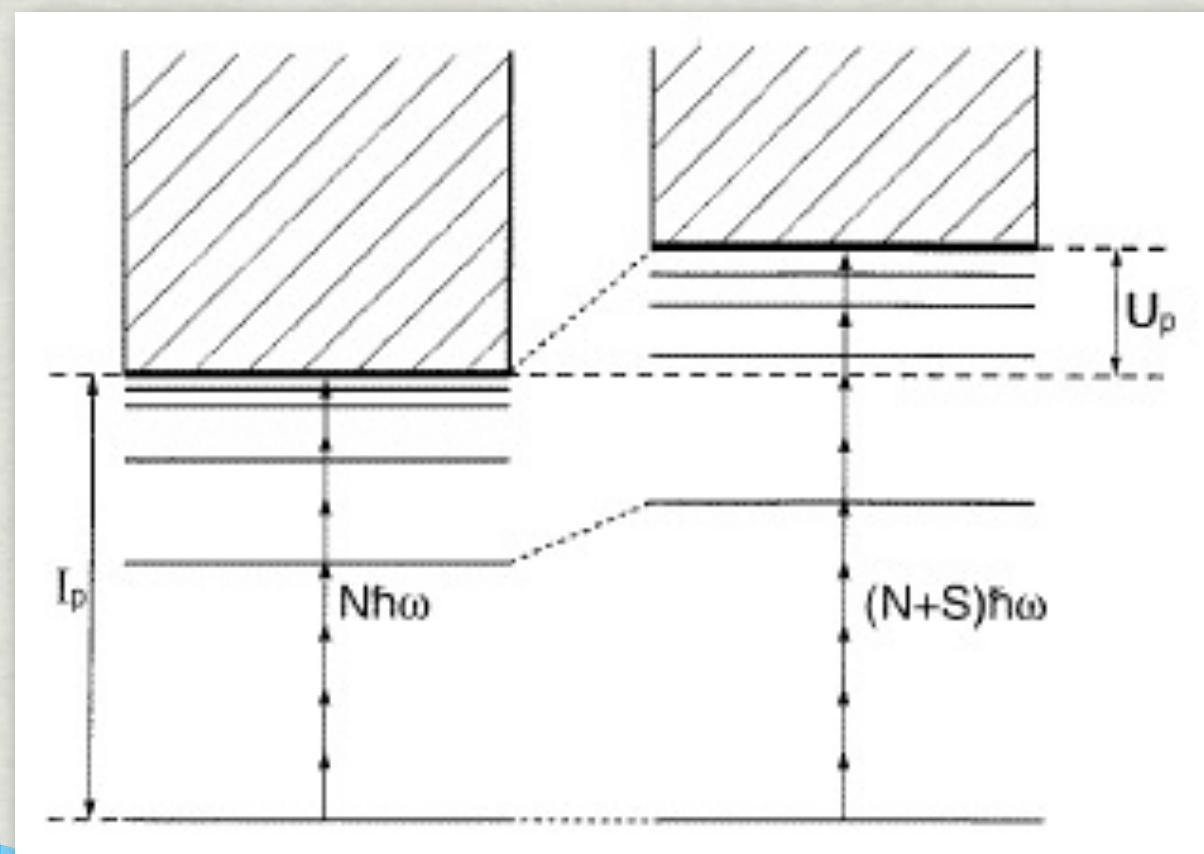
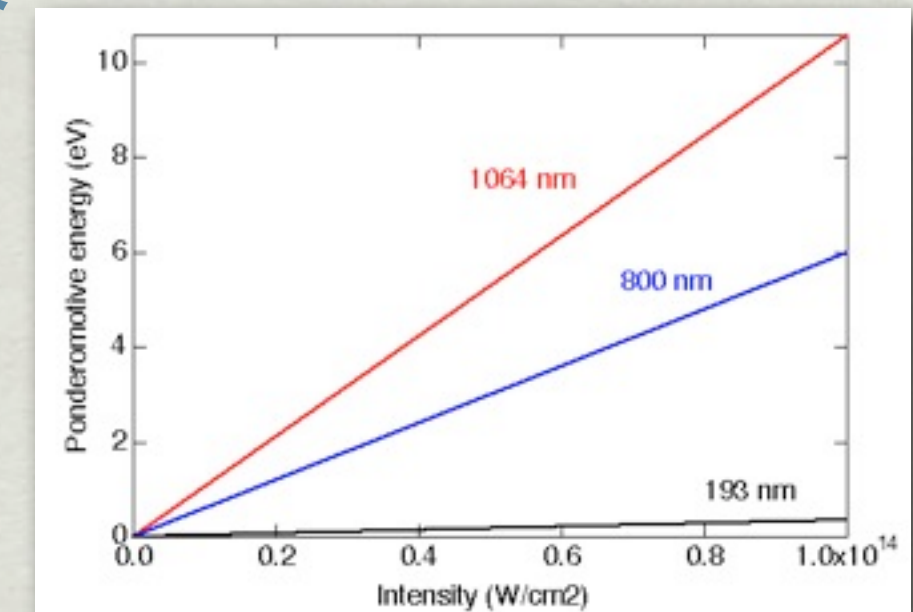
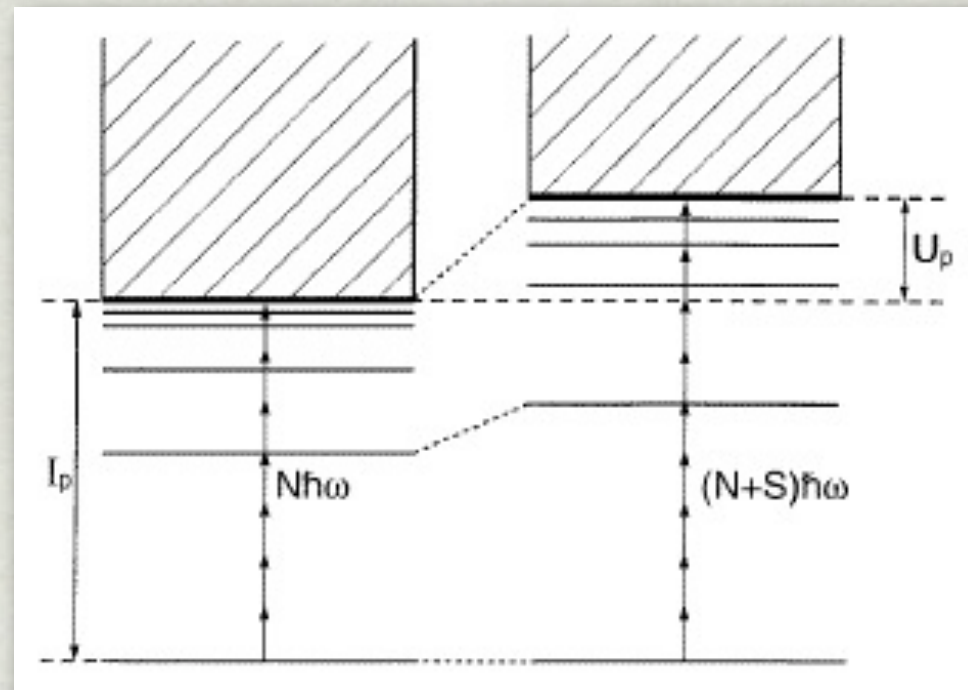


FIG. 7. Xenon photoelectron spectra for 1064-nm light. The polarization is linear, oriented along the detection axis. The re-scale factor at right may be used to obtain the relative rates per unit xenon density.



低次のピークがなくなるのはポンデロモーティブシフトの効果

実効的なイオン化ポテンシャルが $I_p + U_p$ になる。



イオン化に必要な光子数

$$n\hbar\omega \geq I_p + U_p$$

観測される電子のエネルギー

$$E_{\text{kin}} = [n\hbar\omega - (I_p + U_p)] + U_p = n\hbar\omega - I_p$$

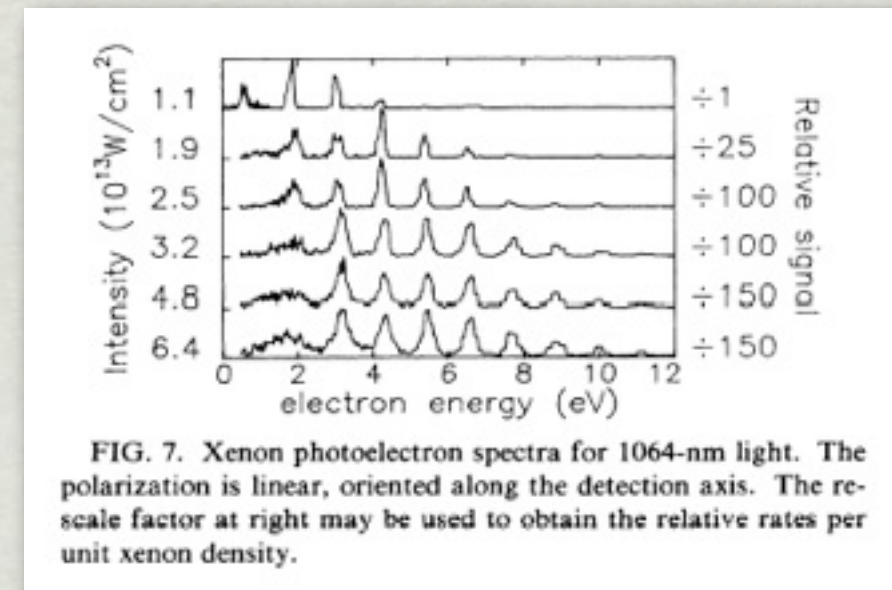
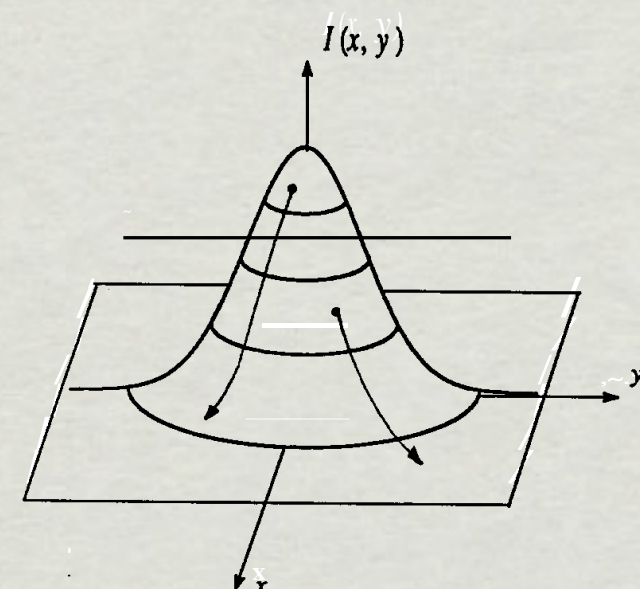


FIG. 7. Xenon photoelectron spectra for 1064-nm light. The polarization is linear, oriented along the detection axis. The re-scale factor at right may be used to obtain the relative rates per unit xenon density.



Two hypothetical photoelectron trajectories under the

束縛電子の場合

量子力学的には：ACシユタルクシフトに対応

摂動論から $\Delta E = \frac{e^2 E_0^2}{4} \sum_n \frac{2\omega_{ni} |\mu_{in}|^2}{\omega^2 - \omega_{ni}^2} = -\frac{1}{4} \alpha(\omega) E_0^2$

電気双極子分極率

ローレンツモデルを用いると $m\ddot{x} = -eE_0 \cos \omega t - m\omega_0^2 x$

$x = x_0 \cos \omega t$ を代入して解くと $\alpha = -\frac{e^2}{m(\omega^2 - \omega_0^2)}$

$$\Delta E = \frac{e^2 E_0^2}{4m(\omega^2 - \omega_0^2)}$$

- * 基底状態では負 → dipole trap $\Delta E_g \approx -\frac{e^2 E_0^2}{4m\omega_0^2} \propto -I$ $\omega_0 \gg \omega$
- * リュードベリ原子・自由電子では正 → ビーム中心から逃げる $U_p \gg |\Delta E_g|$ U_p に比べて無視できる。

$$\Delta E_R \approx U_p = \frac{e^2 E_0^2}{4m\omega^2} \propto I$$

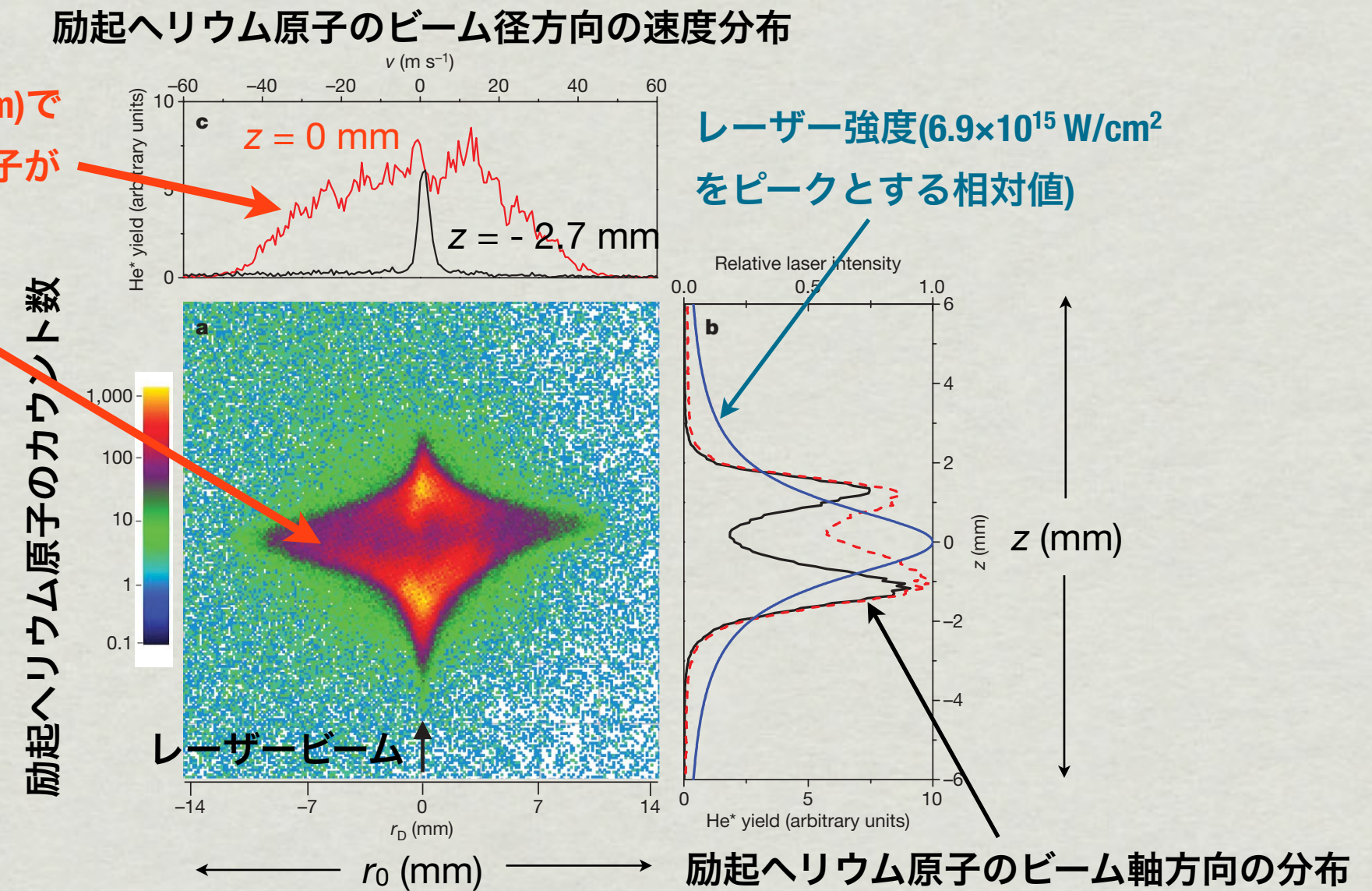
リュードベリ原子は、強レーザーパルスから逃げる

Acceleration of neutral atoms in strong short-pulse laser fields

Nature 461, 1261-1264 (29 October 2009)

U. Eichmann^{1,2}, T. Nubbemeyer¹, H. Rottke¹ & W. Sandner^{1,2}

強度の強いところ($z=0 \text{ mm}$)では、ビームの中心から原子が逃げている。



非摂動論的であること のめやす（1）

低次のピークが消える

$$U_p \sim \hbar\omega \quad \rightarrow \quad E_0^2 \sim \frac{4m\hbar\omega^3}{e^2}$$

	530 nm	650 nm	910 nm	1082 nm
Gontier and Trahin	4.89×10^{13}	1.51×10^{13}	5.80×10^{12}	3.53×10^{12}
$U_p \sim \hbar\omega$	8.9×10^{13}	4.8×10^{13}	1.8×10^{13}	1.0×10^{13}

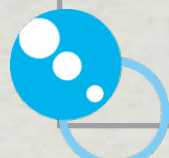
- * オーダーと波長依存性がよく合っている。
- * 原子・原子核の役割は？

非摂動論的？

The diagram illustrates the equivalence between the Coulomb force from an atomic nucleus and the force from a laser electric field. It features a red 'X' symbol crossing through two boxes. The left box contains the text "原子核からのクーロン力" and the right box contains "レーザー電界からの力 ?". Below the 'X' is a diagram of an atom with a central nucleus and an electron orbiting at radius a_0 . To the right of the atom is the equation $\frac{e^2}{4\pi\epsilon_0 a_0^2}$. A large blue arrow points to the right, leading to the equation $I = 3.51 \times 10^{16} \text{ W/cm}^2$.

- * なぜ、これよりずっと低い強度で非摂動論的になるのか？
- * なぜ、長波長ほど、低強度で非摂動論的になるのか？
- * なぜ、低次の光電子ピークが消えるのか？

ポンデロモーティブエネルギーでよく説明できる。



非摂動論的であること のめやす (2)

レーザー場の影響 ~ 原子核の影響

$$U_p \sim I_p$$

$$\gamma = \sqrt{\frac{I_p}{2U_p}}$$

ケルディッシュ(Keldysh)パラメーター

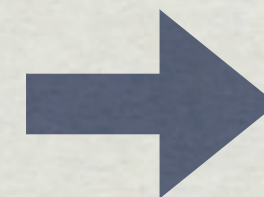
Keldysh, Sov. Phys. JETP 20, 1307 (1965)

$\gamma = 1 \rightarrow$ Xe ($I_p=12.13$ eV), 波長1064nmで、 5.7×10^{13} W/cm²程度

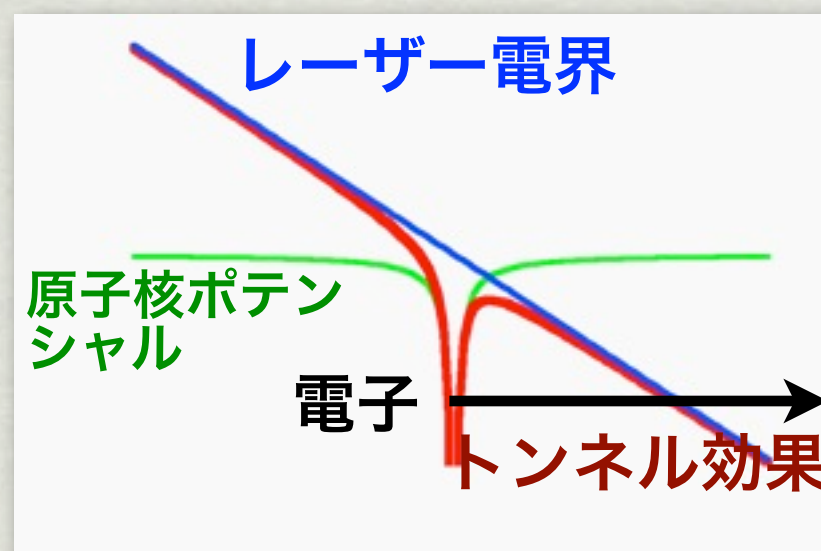
Keldysh, 別のイオン化のメカニズムに 気づく

Keldysh, Sov. Phys. JETP 20, 1307 (1965)

- * レーザーの強度が十分に高く
- * 振動数が十分に低ければ



準定常近似



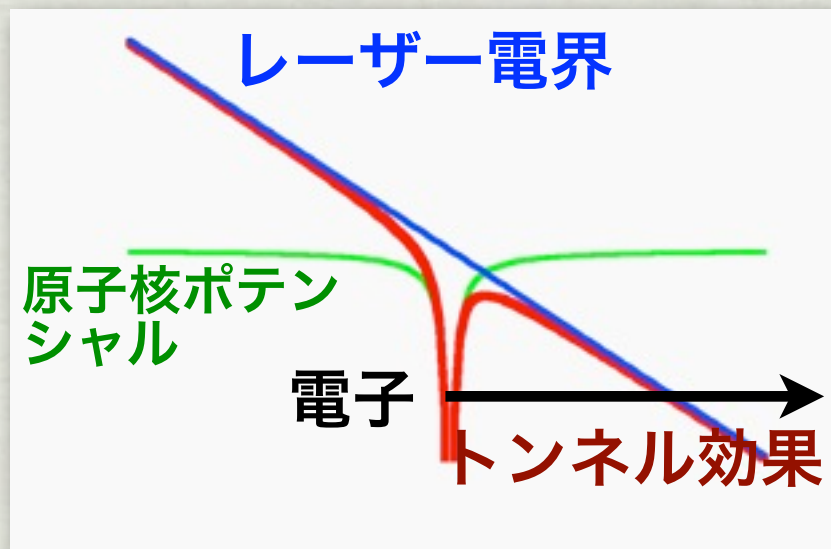
$$V(\mathbf{r}, t) = -\frac{e^2}{4\pi\epsilon_0} \frac{1}{r} + ezE(t)$$

トンネル効果によるイオン化がおこる

トンネル電離 (トンネルイオン化)

tunneling ionization

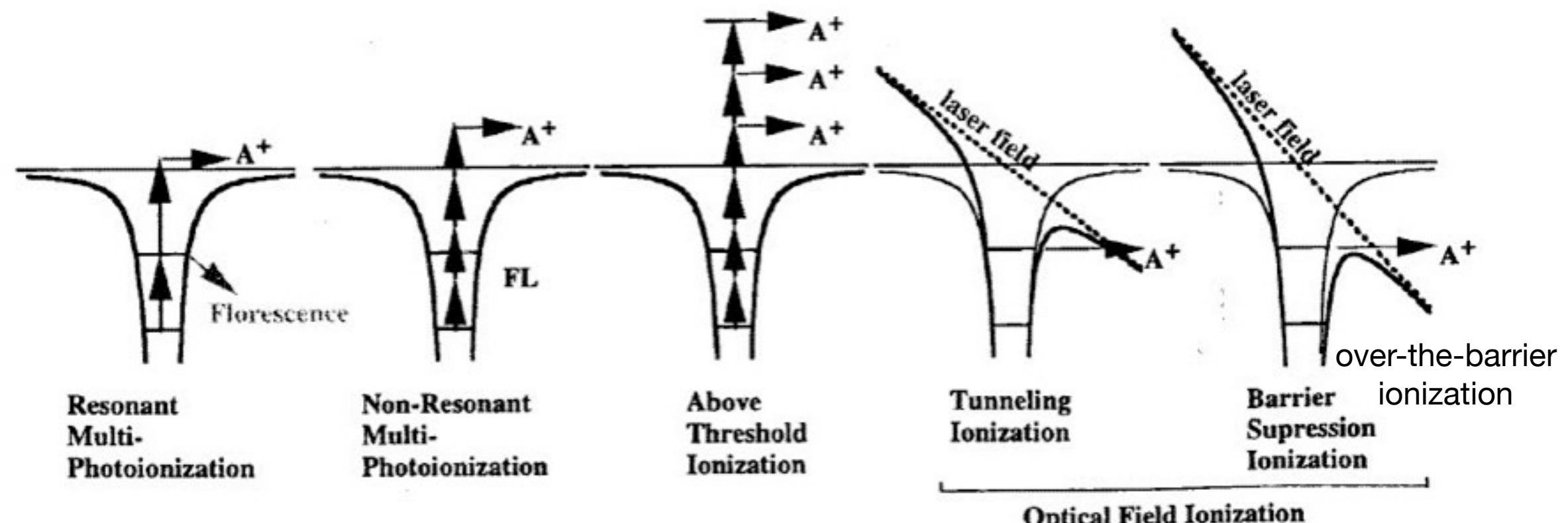
= トンネル効果によるイオン化



$$V(\mathbf{r}, t) = -\frac{e^2}{4\pi\epsilon_0} \frac{1}{r} + ezE(t)$$

電子は、光子ではなく、電界を感じてる！

レーザー強度によるイオン化の変化



$$I > 10^{12} \text{ W/cm}^2 \quad I > 10^{13} \text{ W/cm}^2 \quad I > 10^{14} \text{ W/cm}^2$$

準定常近似

電子がバリアを通過
するのに要する時間

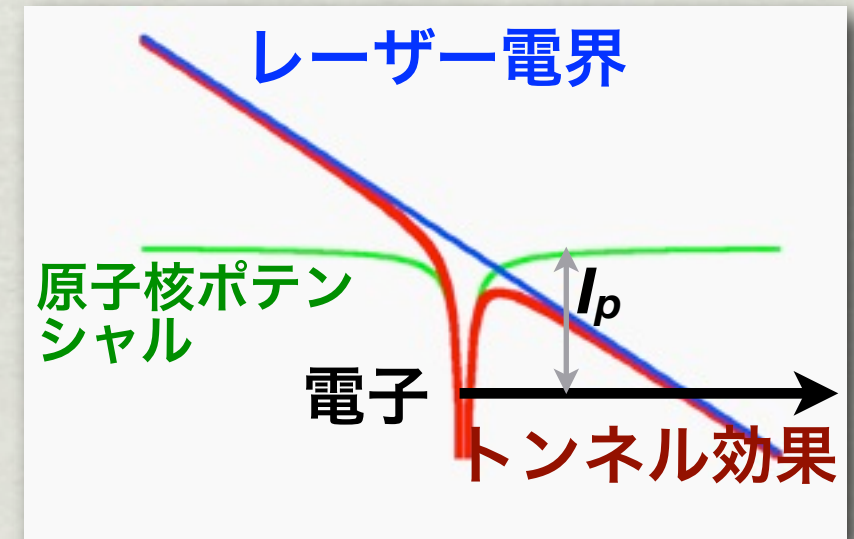


光の周期 (電界の変
化の時間スケール)

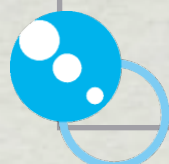
$$\frac{I_p}{eE_0} \div \sqrt{\frac{2I_p}{m}}$$

バリアの厚さ

電子の速度



$$\frac{1}{2\omega}$$



準定常近似

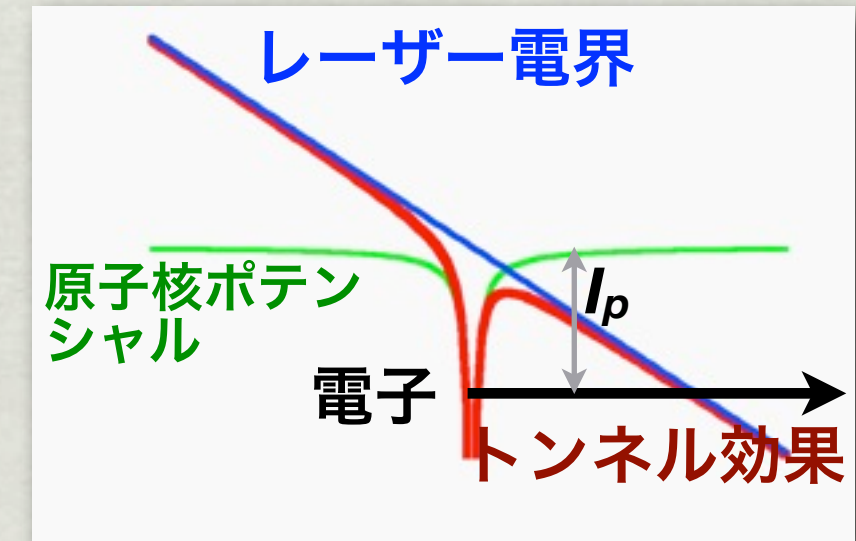
電子がバリアを通過
するのに要する時間



光の周期（電界の変化の時間スケール）

$$\gamma = \frac{\frac{I_p}{eE_0} \div \sqrt{\frac{2I_p}{m}}}{\frac{1}{2\omega}} = \sqrt{\frac{I_p}{2U_p}}$$

ケルディイッシュ(Keldysh)
パラメーター



多光子領域とトンネル領域

multiphoton regime **tunneling regime**

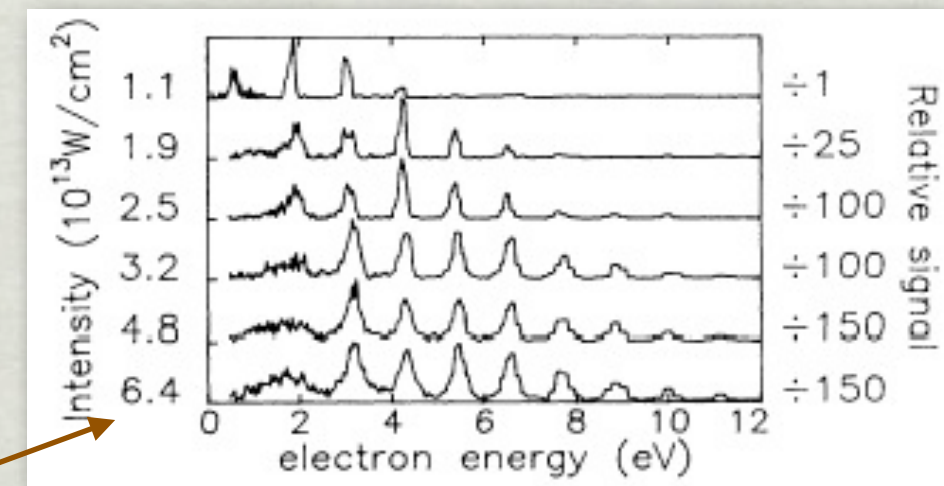
$$\gamma = \sqrt{\frac{I_p}{2U_p}}$$

ケルディッシュ(Keldysh)パラメーター

$\gamma > 1$: 多光子領域

$\gamma \lesssim 1$: トンネル領域

トンネル領域



$\gamma = 1 \rightarrow$ Xe ($I_p=12.13$ eV), 波長1064nmで、 5.7×10^{13} W/cm²程度

トンネル電離率

- * Ammosov-Delone-Krainov (ADK) formula

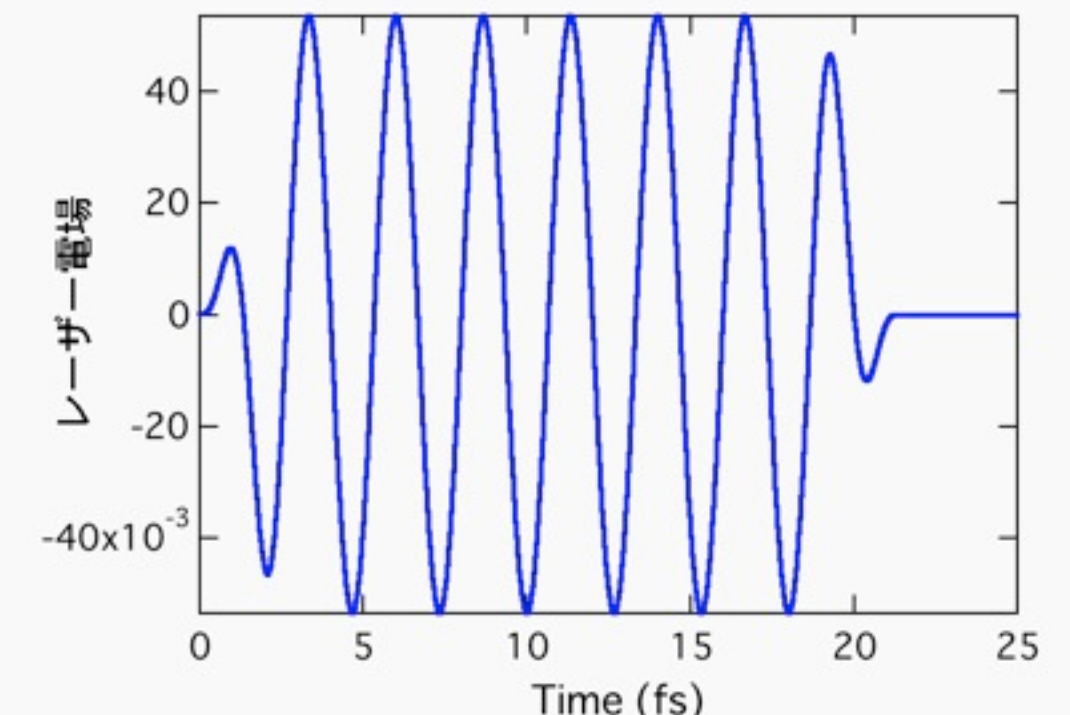
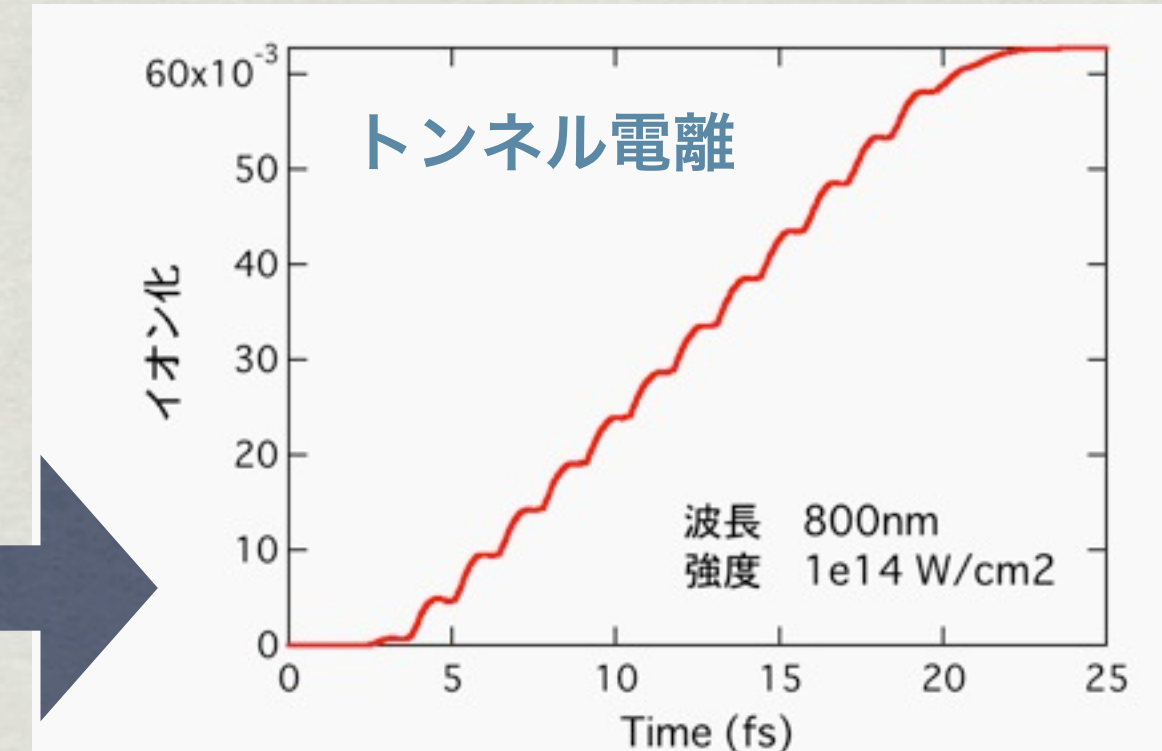
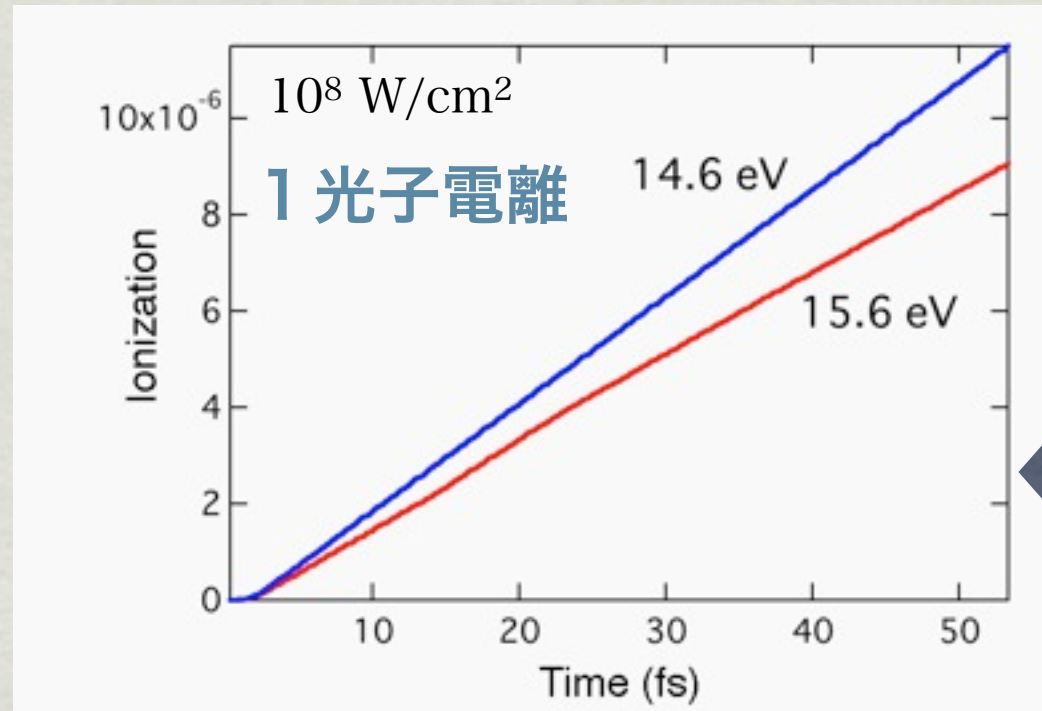
Ammosov et al. Sov. Phys. JETP 64, 1191(1986)

$$W \sim \sqrt{\frac{I_p}{\hbar}} \left(\frac{4\sqrt{2m}(I_p)^{3/2}}{e\hbar|E(t)|} \right)^{2n^*-m-1} \exp \left(-\frac{4\sqrt{2m}(I_p)^{3/2}}{3e\hbar|E(t)|} \right)$$

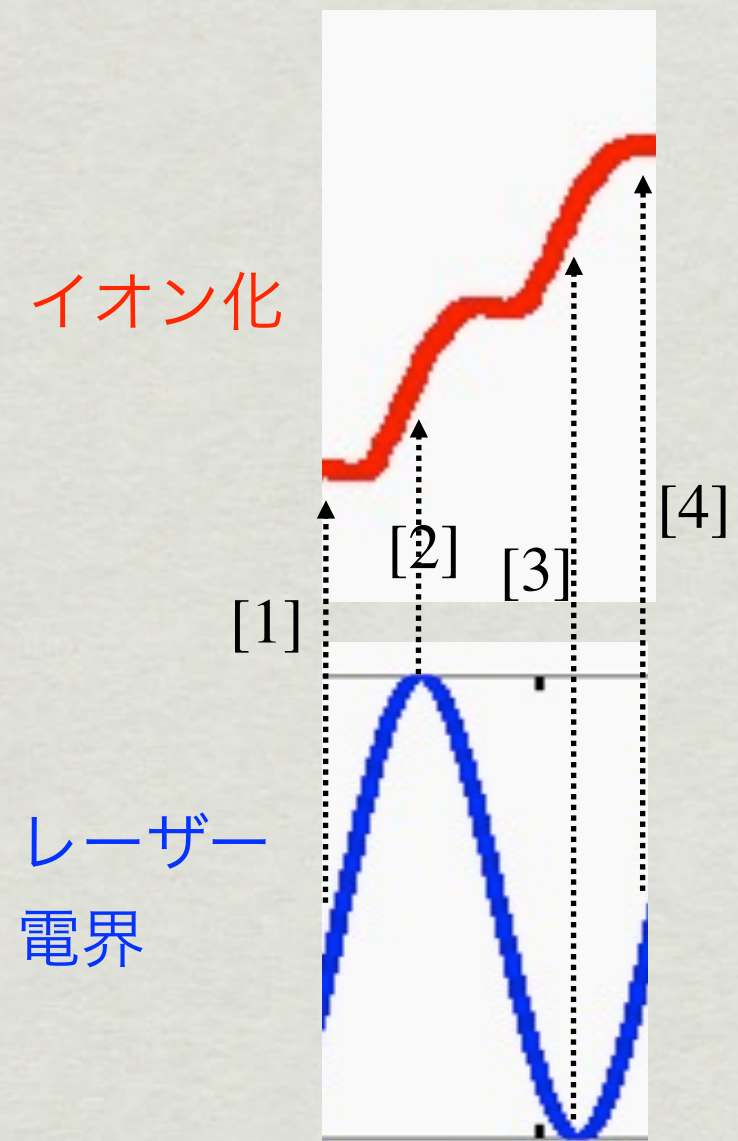
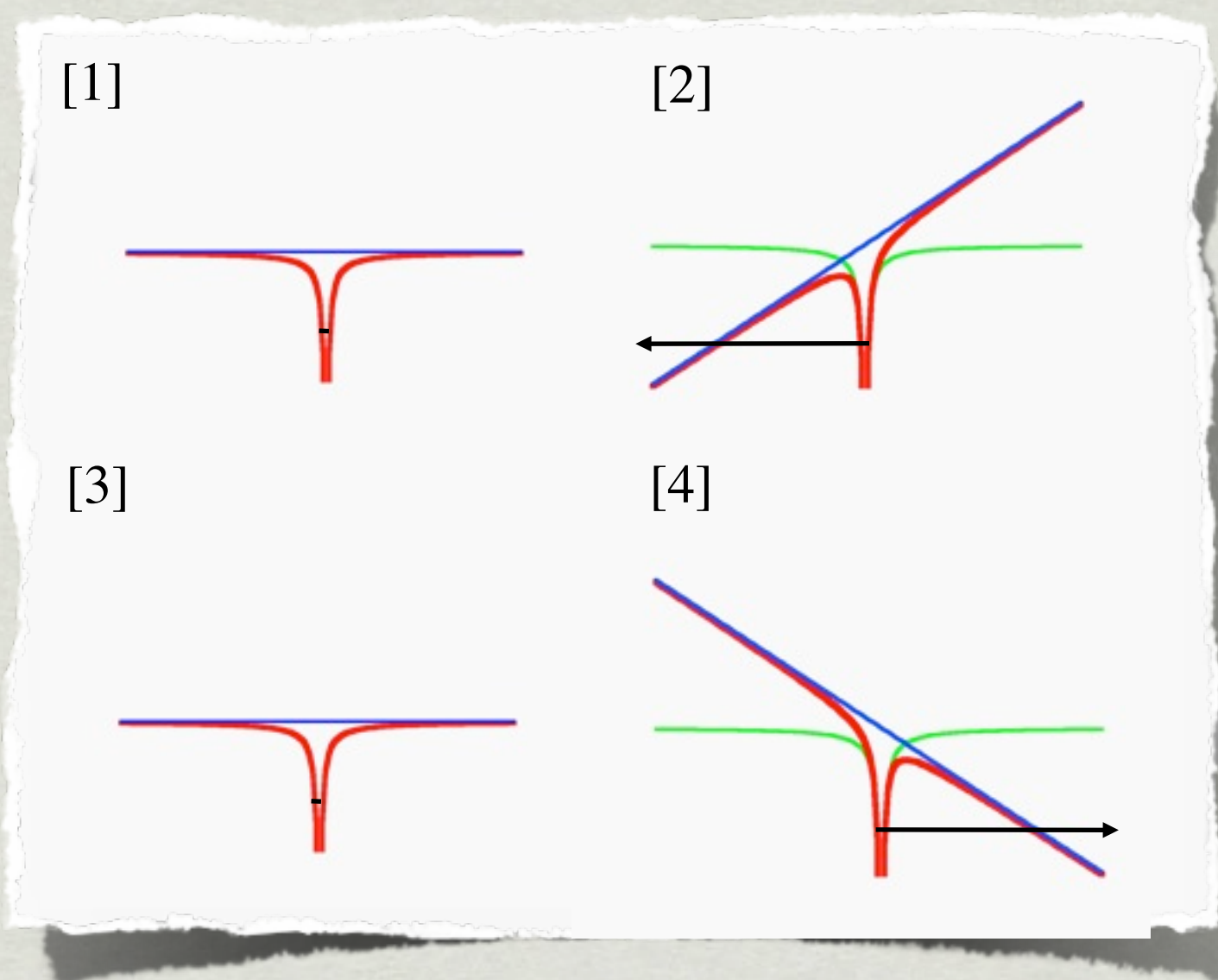
$$n^* = \sqrt{\frac{I_{p,H}}{I_p}}$$

- * 電界強度 $E(t)$ に指数関数的に依存
- * 光の1周期のなかで、電界がピークになる時に選択的にイオン化（1周期あたり2回）

トンネル電離は階段状に進行する



光の1周期のなかで、電界がピークになる瞬間に選択的にイオン化



数値計算法

時間依存シュレーディンガーエ方程式 Time-Dependent Schrödinger Equation (TDSE)

$$i\frac{\partial}{\partial t}\psi(\mathbf{r},t) = \left[-\frac{1}{2}\nabla^2 + V(r) + zE(t)\right]\psi(\mathbf{r},t)$$

SINGLE-ACTIVE-ELECTRON (SAE) 近似

$$V(r) = -\frac{1 + Ae^{-r} + (Z - 1 - A)e^{-Br}}{r}$$

A, B : 基底状態と第 1 励起準位のエネルギーを再現するように決める

微分方程式



差分方程式

どうメッシュを切るか？

$$(x_i, y_j, z_k) \quad (r_i, \theta_j, \phi_k) \rightarrow 3\text{次元}$$

$$\psi(\mathbf{r},t) = \sum_l \sum_m R_{lm}(r) Y_l^m(\theta, \phi) \rightarrow \text{一見 } (r_i, l, m) \text{ の } 3\text{次元}$$



直線偏光では $m = 0$ のみ有限

$$\psi(\mathbf{r},t) = \sum_l R_l(r) Y_l^0(\theta, \phi) \rightarrow (r_i, l) \text{ の } 2\text{次元}$$

Peaceman-Rachford 法（右辺の離散化）

$$r_j = (j - \frac{1}{2})\Delta r \quad i \frac{\partial}{\partial t} \psi(\mathbf{r}, t) = \left[-\frac{1}{2} \nabla^2 + V(r) + zE(t) \right] \psi(\mathbf{r}, t)$$

$$\psi(\mathbf{r}, t) = \sum_l R_l(r, t) Y_l^0(\theta, \phi) \quad g_l^j = r_j R_l(r_j, t) \quad r_j = \left(j - \frac{1}{2} \right) \Delta r$$

$$\begin{aligned}
 i \frac{\partial}{\partial t} g_l^j &= -\frac{c_j g_l^{j+1} - 2d_j g_l^j + c_{j-1} g_l^{j-1}}{2(\Delta r)^2} + \left(\frac{l(l+1)}{2r_j^2} + V(r_j) \right) g_l^j \quad \xrightarrow{\text{原子の}} \text{ハミルトニアン} \\
 &\quad (l \text{ 不変}) \\
 &+ r_j E(t) \left(a_l g_{l+1}^j + a_{l-1} g_{l-1}^j \right) \quad \xrightarrow{\text{相互作用ハミルトニアン}} \\
 &= (H_0 g)_l^j + (H_I g)_l^j \quad l \text{ と } l \pm 1 \text{ を結合} \quad \text{選択則と関連}
 \end{aligned}$$

$$c_j = \frac{j^2}{j^2 - 1/4}, \quad d_j = \frac{j^2 - j + 1/2}{j^2 - j + 1/4}, \quad a_l = \frac{l+1}{\sqrt{(2l+1)(2l+3)}}$$

Peaceman-Rachford 法 (時間発展)

TEMPORAL EVOLUTION

$$i \frac{\partial}{\partial t} g_l^j = (H_0 g)_l^j + (H_I g)_l^j$$

l 不変

j について 3 重対角

j 不変

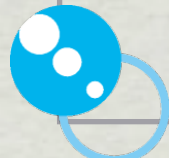
l について 3 重対角

ALTERNATING DIRECTIONS IMPLICIT SCHEME

$$g_l^j(t + \Delta t) = \left[I + \frac{1}{2} i H_0 \Delta t \right]^{-1} \left[I + \frac{1}{2} i H_I \Delta t \right]^{-1} \left[I - \frac{1}{2} i H_I \Delta t \right] \left[I - \frac{1}{2} i H_0 \Delta t \right]$$

- t に関して 2 次の精度
- 近似的にユニタリ

クランク・ニコルソン法の拡張版



トンネル電離率

* Ammosov-Delone-Krainov (ADK) formula

Ammosov et al. Sov. Phys. JETP 64, 1191(1986)

$$W \sim \sqrt{\frac{I_p}{\hbar}} \left(\frac{4\sqrt{2m}(I_p)^{3/2}}{e\hbar|E(t)|} \right)^{2n^*-m-1} \exp \left(-\frac{4\sqrt{2m}(I_p)^{3/2}}{3e\hbar|E(t)|} \right) \quad n^* = \sqrt{\frac{I_{p,H}}{I_p}}$$

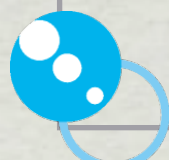
電界がピークの時 $|E(t)| = E_0$

$$W \sim \sqrt{\frac{I_p}{\hbar}} \left(4\gamma \frac{I_p}{\hbar\omega} \right)^{2n^*-m-1} \exp \left(-\frac{4}{3}\gamma \frac{I_p}{\hbar\omega} \right) \quad \gamma = \sqrt{\frac{I_p}{2U_p}}$$

トンネル電離が重要なのは

$$U_p = \frac{e^2 E_0^2}{4m\omega^2}$$

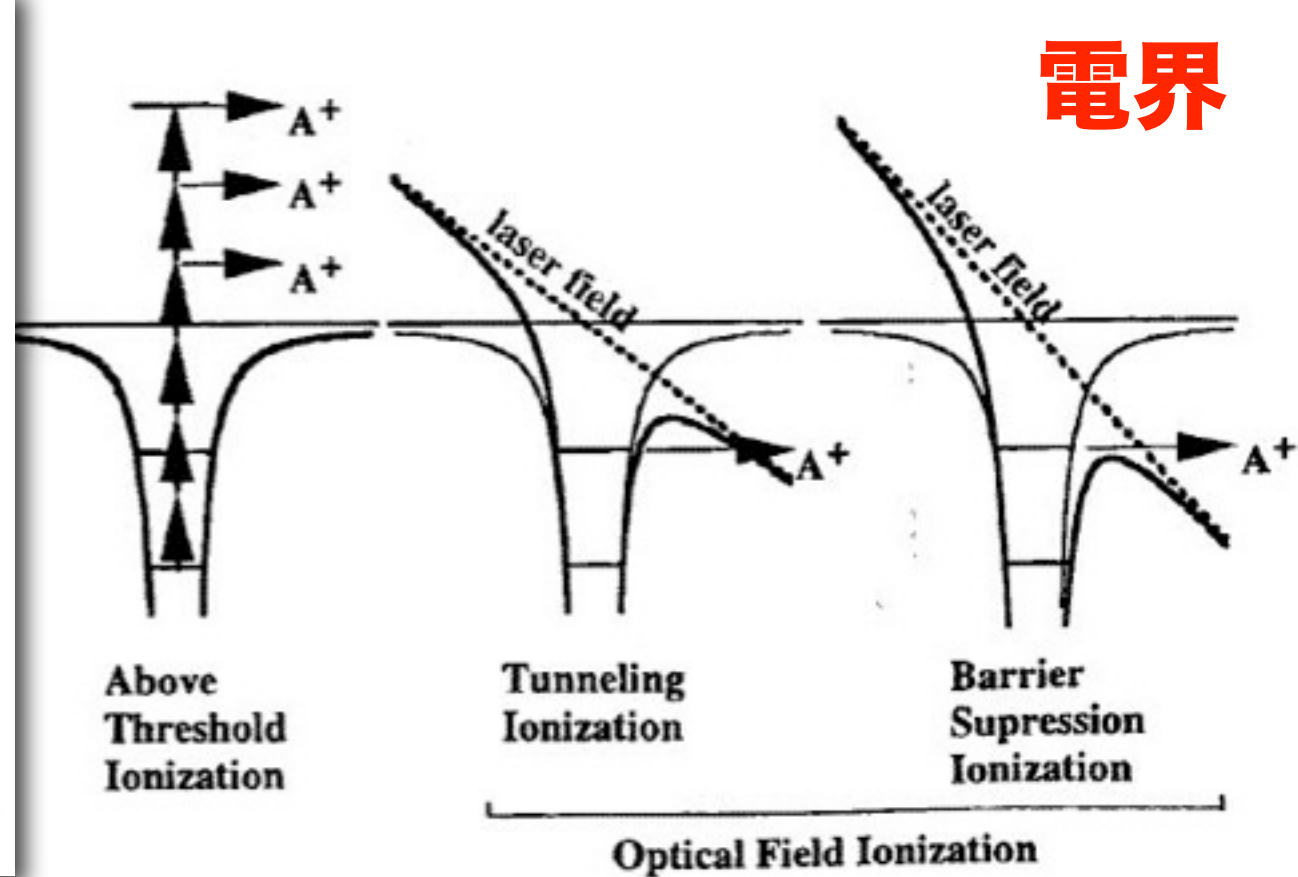
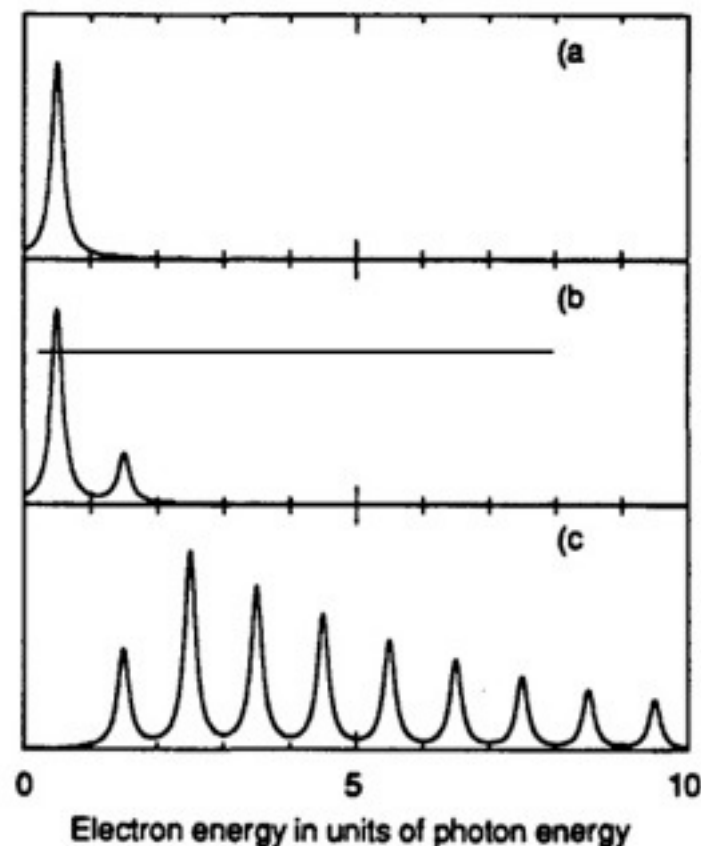
- * Keldyshパラメーター(γ)が十分小さいとき
- * 光の振動数が高すぎず、低すぎないとき (トンネル領域($\gamma < 1$))
だからといってトンネル電離するわけではない！→テラヘルツ光のとき注意)



レーザー強度によるイオン化の変化

電界

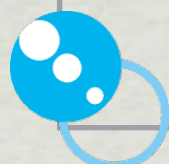
R N P



$$I > 10^{12} \text{ W/cm}^2$$

$$I > 10^{13} \text{ W/cm}^2$$

$$I > 10^{14} \text{ W/cm}^2$$



トンネル電離でも光電子スペクトルは離散的

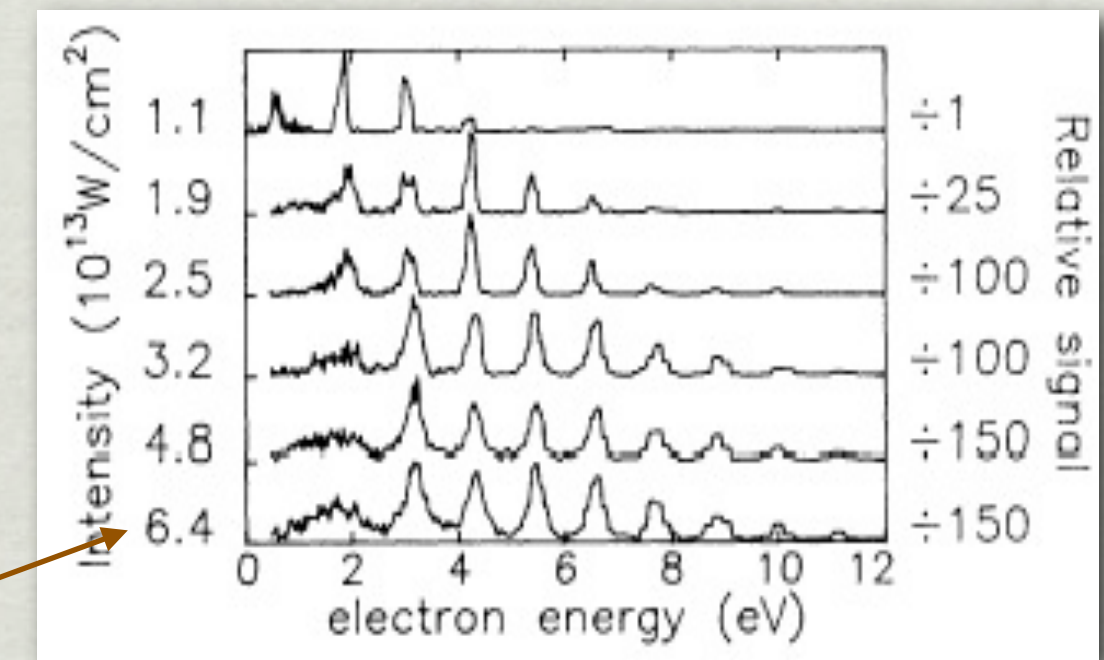
$$\gamma = \sqrt{\frac{I_p}{2U_p}}$$

ケルディッシュ(Keldysh)パラメーター

$\gamma > 1$: 多光子領域

$\gamma \lesssim 1$: トンネル領域

トンネル領域

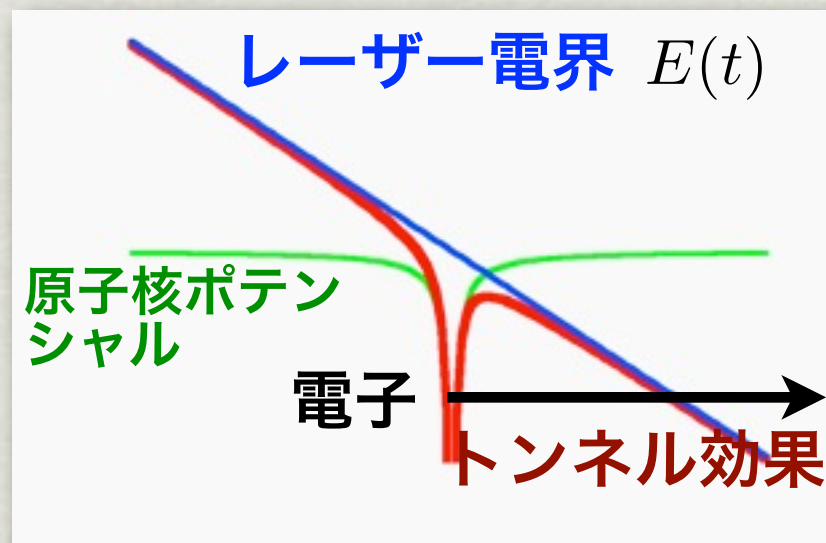


$\gamma = 1 \rightarrow$ Xe ($I_p=12.13$ eV), 波長1064nmで、 5.7×10^{13} W/cm²程度

なぜ、トンネル電
離でも光電子スペ
クトルは離散的な
のか？

トンネル電離後の電子の経路

イオン化後は原子核（イオン）からのクーロンポテンシャルを無視（高強度場近似）



最終的な（観測される）電子の速度（運動量）

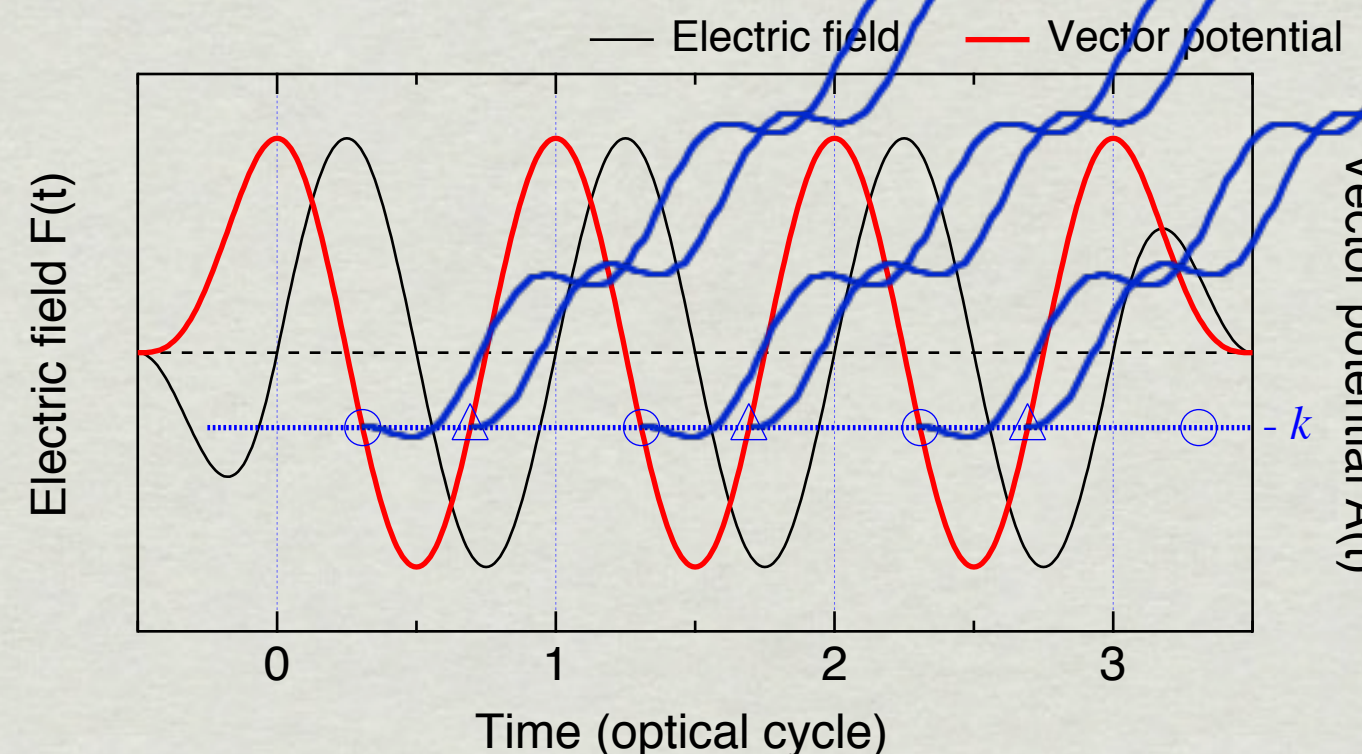
時刻 t_r でイオン化。初速ゼロ $v(t') = 0$

$$m\dot{v} = -eE(t)$$

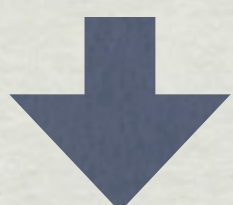
$$mv(t) = -e \int_{t_r}^t E(t) dt = e[A(t) - A(t_r)]$$

$$A(t) = - \int E(t) dt \quad \text{ベクトルポテンシャル}$$

$$k = mv(\infty) = e[A(\infty) - A(t_r)] = -eA(t_r)$$



同じエネルギーに
複数の経路が寄与



干渉

電子経路の量子力学的干渉

個々の経路 i の持つ位相

$$\exp\left(\frac{iS(t_r^{(i)})}{\hbar}\right)$$

Volkov波動関数

$$\Psi_V(z, t) = \exp\left[i(k + eA(t))z - \frac{iS(t)}{\hbar}\right]$$

作用(action)

$$S(t) = \int dt L = \int_{\infty}^t dt' \left[\frac{(k + eA(t'))^2}{2m} + I_p \right] \\ = 2U_p \left[\left(1 + \frac{\cos(2\omega t)}{2} \right) t - \frac{3}{4\omega} \sin(2\omega t) \right] + I_p t$$

光電子の運動量分布

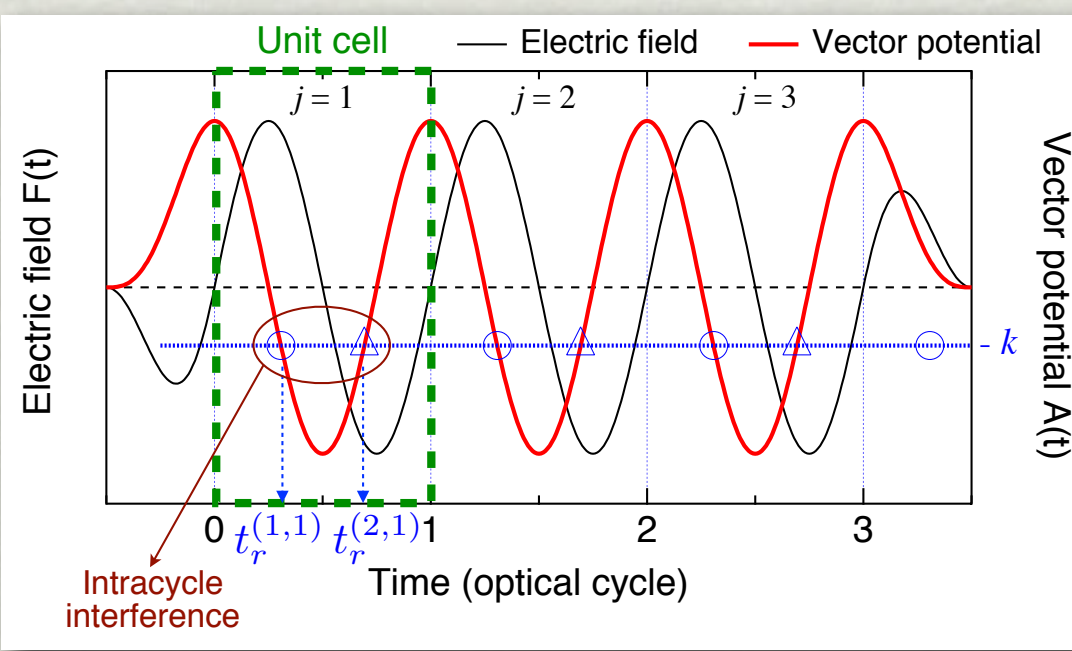
$$P(k) \propto \left| \sum_i \exp\left(\frac{iS(t_r^{(i)})}{\hbar}\right) \right|^2$$

$$\propto \cos^2\left(\frac{\Delta S}{2}\right) \left| \sum_j \exp\left(\frac{iS(t_r^{(1j)})}{\hbar}\right) \right|^2$$

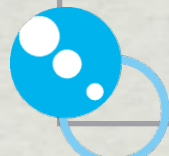
サイクル内干渉

サイクル間干渉

$$\Delta S = S(t_r^{(2,1)}) - S(t_r^{(1,1)})$$



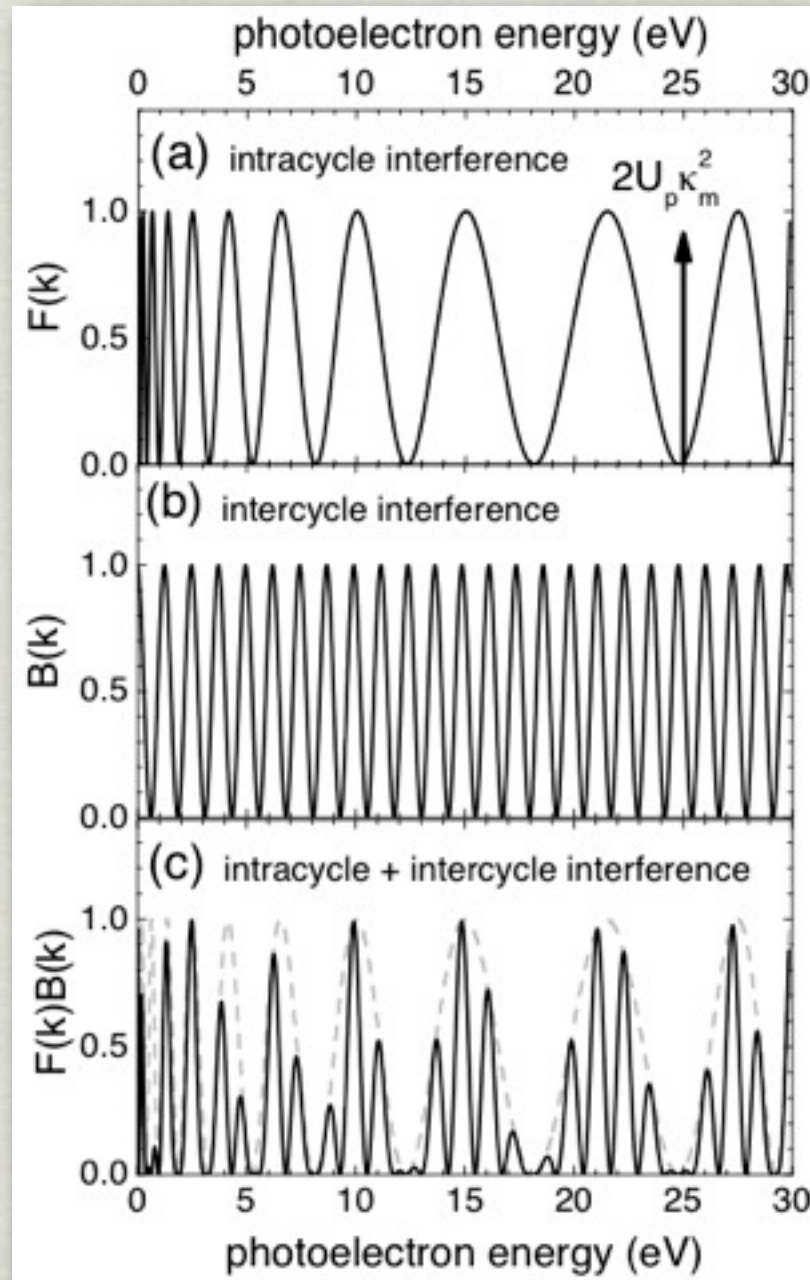
Arbo, Ishikawa et al., Phys. Rev. A 81, 021403(R) (2010)



UT-PSC
Photon Science Center of the University of Tokyo

サイクル内干渉とサイクル間干渉

$$P(k) \propto \left| \sum_i \exp \left(\frac{iS(t_r^{(i)})}{\hbar} \right) \right|^2 \propto \cos^2 \left(\frac{\Delta S}{2} \right) \left| \sum_j \exp \left(\frac{iS(t_r^{(1j)})}{\hbar} \right) \right|^2$$



サイクル内干渉 サイクル間干渉

$$\Delta S = S(t_r^{(2,1)}) - S(t_r^{(1,1)})$$

サイクル間干渉 $t_r^{(1,j)} = t_r^{(1,1)} + \frac{2\pi}{\omega}(j-1)$

レーザー電界の周期ごと

$$\sigma = S(t_r + 2\pi/\omega) - S(t_r) = \frac{2\pi}{\omega} \left(\frac{k^2}{2m} + U_p + I_p \right)$$

$$\sum_j \exp \left(\frac{iS(t_r^{(1j)})}{\hbar} \right) \propto 1 + \exp(i\sigma/\hbar) + \exp(2i\sigma/\hbar) + \dots$$

ピーカ (干渉が強め合う) の条件 $\frac{\sigma}{\hbar} = 2\pi n$

$$\frac{k^2}{2m} + U_p + I_p = n\hbar\omega$$

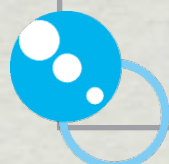
光電子の運動エネルギー



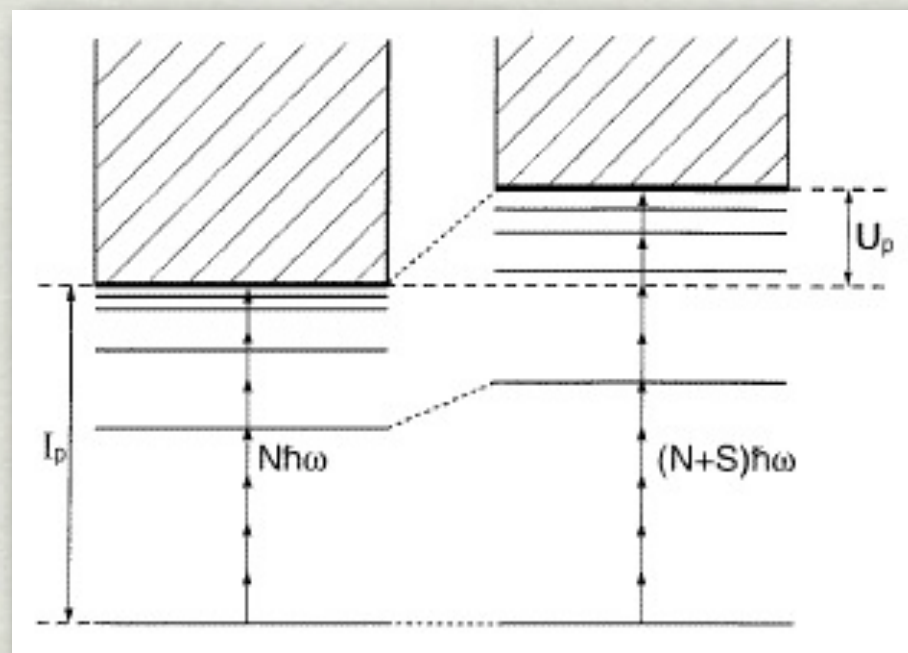
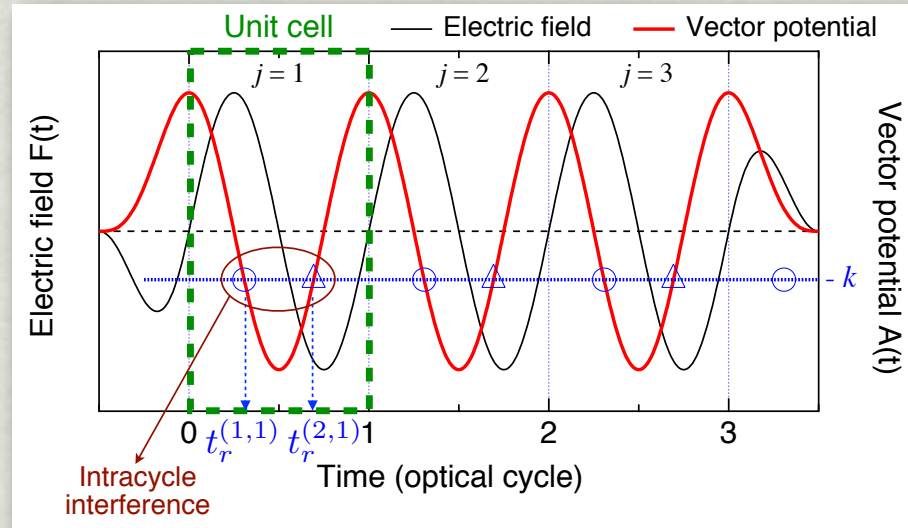
$$E_{\text{kin}} = n\hbar\omega - I_p - U_p$$

整数

石川顕一



$$E_{\text{kin}} = n\hbar\omega - I_p - U_p$$



- * トンネル電離の光電子スペクトルの離散的なピークは、光子の概念なしに説明できる。
- * 電子経路のサイクル間干渉による
- * 同じ方向への電子波束放出が、レーザー場の周期で起こるため
- * ポンデロモーティブシフトが自然に出てくる

まとめ

強度 $10^{13}\sim 10^{15} \text{ W/cm}^2$ のレーザー場中のイオン化

- * 超閾電離(Above-threshold ionization, ATI)
 - * 必要以上の光子を吸収してイオン化する過程（光子の観点）
- * トンネル電離
 - * トンネル効果によるイオン化（電磁波の観点）
- * 光電子スペクトルは離散的なピークからなる
 - * free-free遷移による光子の吸収（原子物理の観点）
 - * トンネル電離で周期的に出てくる電子波束の干渉